



TUGAS AKHIR - TE 141599

**PENAMBAHAN STATIC VAR COMPENSATOR UNTUK
MENINGKATKAN STABILITAS TEGANGAN PADA STUDI
PERENCANAAN BACKBONE KALIMANTAN 275 KV
PADA TAHUN 2026**

Giffari Yusuf Aditya
NRP 07111440000047

Dosen Pembimbing
Dr.Dimas Fajar UP.ST.,MT.
Vita Lystianingrum B P , ST.,M.Sc.Ph.D

DEPARTEMEN TEKNIK ELEKTRO
Fakultas Teknologi Elektro
Institut Teknologi Sepuluh Nopember
Surabaya 2018



TUGAS AKHIR - TE 141599

**PENAMBAHAN STATIC VAR COMPENSATOR UNTUK
MENINGKATKAN STABILITAS TEGANGAN PADA STUDI
PERENCANAAN BACKBONE KALIMANTAN 275 KV PADA
TAHUN 2026**

Giffari Yusuf Aditya
NRP 07111440000047

Dosen Pembimbing
Dr.Dimas Fajar UP.ST.,MT.
Vita Lystianingrum B P . ST.,M.sc.Ph.D

DEPARTEMEN TEKNIK ELEKTRO
Fakultas Teknologi Elektro
Institut Teknologi Sepuluh Nopember
Surabaya 2018



FINAL PROJECT - TE 141599

**ADDITION OF STATIC VAR COMPENSATOR TO
INCREASE VOLTAGE STABILITY IN KALIMANTAN 275
KV BACKBONE PLANNING STUDY IN 2026**

Giffari Yusuf Aditya
NRP 07111440000047

Supervisors
Dr.Dimas Fajar UP.ST.MT.
Vita Lystianingrum B P , ST.,M.Sc.Ph.D

**DEPARTMENT OF ELECTRICAL ENGINEERING
Faculty of Electrical Technology
Institut Teknologi Sepuluh Nopember
Surabaya 2018**

**PENAMBAHAN STATIC VAR COMPENSATOR
UNTUK MENINGKATKAN STABILITAS TEGANGAN
PADA STUDI PERENCANAAN BACKBONE
KALIMANTAN 275 KV PADA TAHUN 2026**

TUGAS AKHIR

**Diajukan Guna Memenuhi Sebagian Persyaratan
Untuk Memperoleh Gelar Sarjana Teknik
Pada**

**Bidang Studi Teknik Sistem Tenaga
Departemen Teknik Elektro
Institut Teknologi Sepuluh Nopember**

Menyetujui :

Dosen Pembimbing I

Dr. Dimas Fajar UP., ST., MT.
NIP. 198811082012121001

Dosen Pembimbing II

Vita Lystianingrum BP., ST., M.Sc., Ph.D.
NIP. 198208292006042001



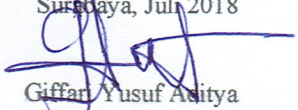
PERNYATAAN KEASLIAN TUGAS AKHIR

Dengan ini saya menyatakan bahwa isi keseluruhan Tugas akhir saya dengan judul "**PENAMBAHAN STATIC VAR COMPENSATOR UNTUK MENINGKATKAN STABILITAS TEGANGAN PADA STUDI PERENCANAAN BACKBONE KALIMANTAN 275 KV PADA TAHUN 2026**" adalah benar-benar hasil karya intelektual mandiri, diselesaikan tanpa menggunakan bahan-bahan yang tidak diijinkan dan bukan merupakan karya pihak lain yang saya akui sebagai karya sendiri.

Semua referensi yang dikutip maupun dirujuk telah ditulis secara lengkap pada daftar pustaka.

Apabila ternyata pernyataan ini tidak benar, saya bersedia menerima sanksi sesuai peraturan yang berlaku.

Surabaya, Juli 2018


Giffari Yusuf Acitya
07111440000047

PENAMBAHAN STATIC VAR COMPENSATOR UNTUK MENINGKATKAN STABILITAS TEGANGAN PADA STUDI PERENCANAAN BACKBONE KALIMANTAN 275 KV PADA TAHUN 2026

Nama mahasiswa : Giffari Yusuf Aditya

Dosen Pembimbing I : Dr. Dimas Fajar UP.ST.,MT.

Dosen Pembimbing II : Vita Lystianingrum B P , ST.,M.Sc.Ph.D

Abstrak:

Pemerintah merencanakan penambahan pembangkit tenaga listrik, transmisi, dan gardu induk pada regional Kalimantan. Sehingga dibutuhkan perencanaan untuk melakukan pembangunan sistem tenaga listrik di Kalimantan. *Total blackout* atau pemadaman total merupakan hal yang sangat dihindari pada sistem tenaga listrik. Salah satu yang dapat mempengaruhi terjadinya *total blackout* adalah stabilitas tegangan. *Static Var Compensator (SVC)* dapat mengatasi stabilitas tegangan pada sistem transmisi. SVC merupakan salah satu peralatan FACTS (*Flexible Alternating Current Transmission System*) dengan hubungan paralel yang dapat mengatur besaran reaktansi paralel sehingga dapat mengontrol tegangan pada bus tertentu. SVC dapat menyerap dan menginjeksikan daya reaktif untuk mengontrol besar tegangan pada titik sambungan ke jaringan AC. Pada tugas akhir ini dibahas cara memperbaiki stabilitas tegangan pada sistem *Backbone* kelistrikan Kalimantan 275 kV. Analisis stabilitas tegangan dianalisis dengan menggunakan metode kestabilan kurva PV dan penempatan lokasi SVC dengan metode sensitivitas tegangan. Hasil analisis tersebut akan menjadi dasar dari analisis lainnya seperti *short circuit*, kestabilan dan lain-lain. Sehingga Sistem transmisi *Backbone* Kalimantan 275 kV memiliki sistem tenaga listrik yang baik.

Kata kunci: (*SVC, PV curve, FACTS*)

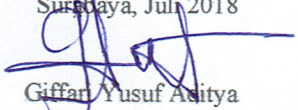
PERNYATAAN KEASLIAN TUGAS AKHIR

Dengan ini saya menyatakan bahwa isi keseluruhan Tugas akhir saya dengan judul "**PENAMBAHAN STATIC VAR COMPENSATOR UNTUK MENINGKATKAN STABILITAS TEGANGAN PADA STUDI PERENCANAAN BACKBONE KALIMANTAN 275 KV PADA TAHUN 2026**" adalah benar-benar hasil karya intelektual mandiri, diselesaikan tanpa menggunakan bahan-bahan yang tidak diijinkan dan bukan merupakan karya pihak lain yang saya akui sebagai karya sendiri.

Semua referensi yang dikutip maupun dirujuk telah ditulis secara lengkap pada daftar pustaka.

Apabila ternyata pernyataan ini tidak benar, saya bersedia menerima sanksi sesuai peraturan yang berlaku.

Surabaya, Juli 2018


Giffari Yusuf Acitya
07111440000047

ADDITION OF STATIC VAR COMPENSATOR TO INCREASE VOLTAGE STABILITY IN KALIMANTAN 275 KV BACKBONE PLANNING STUDY IN 2026

Student Name : Giffari Yusuf Aditya
Supervisor I : Dr.Dimas Fajar UP.ST.,MT.
Supervisor II : Vita Lystianingrum B P , ST.,M.Sc.Ph.D

Abstract:

The government plans additional power plants, transmissions and substations in the Kalimantan region. So it takes planning to do the construction of power system in Kalimantan. Total blackout is a very avoidable thing on the power system. One that can affect the total blackout is the voltage stability. Static Var Compensator (SVC) can overcome the voltage stability in the transmission system. SVC is one of the FACTS (Flexible Alternating Current Transmission System) equipment with parallel connection that can adjust the amount of parallel reactance so that it can control the voltage on certain bus. SVC can absorb and inject reactive power to control the voltage across the connection point to the AC (Alternating Current) network. In this final project discussed how to improve the stability of the voltage on the system Backbone electricity 275 kV Kalimantan. Stability analysis of stress is analyzed by using stability method of PV curve and SVC location placement with stress sensitivity method. The results of the analysis will be the basis of other analyzes such as short circuit, stability and others. So the 275 kV Kalimantan backbone transmission system has a good electric power system.

Key Word: (*SVC, PV Curve,FACTS*)

KATA PENGANTAR

Puji Syukur penulis panjatkan kehadiran Allah SWT atas segala Rahmat, Karunia, dan Petunjuk yang telah dilimpahkan-Nya sehingga penulis mampu menyelesaikan tugas akhir dengan judul "**J PENAMBAHAN STATIC VAR COMPENSATOR UNTUK MENINGKATKAN STABILITAS TEGANGAN PADA STUDI PERENCANAAN BACKBONE KALIMANTAN 275 KV PADA TAHUN 2026**".

Tugas Akhir ini disusun sebagai salah satu persyaratan untuk menyelesaikan jenjang pendidikan S1 pada Bidang Studi Teknik Sistem Tenaga, Departemen Teknik Elektro, Fakultas Teknologi Elektro, Institut Teknologi Sepuluh Nopember. Atas selesainya penyusunan tugas akhir ini, penulis mengucapkan terima kasih kepada:

1. Allah SWT atas limpahan rahmat, karunia dan petunjuk-Nya.
2. Ibu dan Bapak penulis atas doa dan cinta yang tak henti pada penulis dalam keadaan apapun. Semoga Allah SWT senantiasa melindungi dan memberi mereka tempat terbaik kelak di surgaNya.
3. Bapak Fajar Uman dan Ibu Vita Lystianingrum selaku dosen pembimbing yang telah memberikan arahan, bimbingan dan perhatiannya selama proses penyelesaian tugas akhir ini.
4. Seluruh dosen dan karyawan Departemen Teknik Elektro ITS yang telah memberikan banyak ilmu dan menciptakan suasana belajar yang luar biasa.
5. Teman-teman seperjuangan e54 yang telah menemani dan memberikan dukungan selama masa kuliah sampai penyusunan tugas akhir ini.
6. Ustadz-ustadz, pengurus, dan teman-teman pesantren mahasiswa Darul Arqam Keputih Surabaya. Terimakasih atas doa, ilmu, semangat, nasihat, dan kritik yang membangun semangat saya mengerjakan skripsi ini.
7. Teman-teman belajar bersama Fakhri, Imam, Farhan, Gufron, Tegar, Banu, Ivan, dan Yandi yang selalu memberi semangat, ilmu dan berdiskusi tentang mata kuliah dan lain-lain.
8. Teman-teman Laboratorium Simulasi Sitem Tenaga Listrik, konci, Ori, Fikri, Aden, Mas Bibur, Sabil yang telah membantu tentang proyek Kalimantan dan tugas akhir saya
9. Sahabat dari Bondowoso, Andika, Ajeb, Yovanka yang telah memberi semangat untuk mengerjakan tugas akhir ini.
10. Seluruh anggota tugas akhir proyek Kalimantan, yang telah membantu dan memberi semangat untuk menyelesaikan tugas akhir ini.

11. Mas dan juga mbak Lintas Jalur teknik elektro yang ikut membantu dan memberi saran terkait tugas akhir ini.
12. Seluruh teman-teman teknik elektro Institut Teknologi Sepuluh Nopember yang tidak bias penulis sebutkan satu persatu yang telah memberi bantuan, semangat, ilmu dan kekuatan untuk bisa menyelesaikan tugas akhir ini

Penulis telah berusaha maksimal dalam penyusunan tugas akhir ini. Namun tetap besar harapan penulis untuk menerima saran dan kritik untuk perbaikan dan pengembangan tugas akhir ini. Semoga tugas akhir ini dapat memberikan manfaat yang luas.

Surabaya, Juli 2018

Giffari Yusuf Aditya

DAFTAR ISI

PERNYATAAN KEASLIAN TUGAS AKHIR	ii
KATA PENGANTAR	v
DAFTAR ISI	vii
DAFTAR GAMBAR	ix
DAFTAR TABEL	x
BAB 1 PENDAHULUAN	1
1.1 Latar Belakang	1
1.2 Permasalahan	2
1.3 Tujuan	2
1.4 Batasan Masalah	3
1.5 Metodologi	3
1.6 Sistematika Penulisan	4
1.7 Relevansi	5
BAB 2 KAJIAN PUSTAKA	7
2.1 Kajian Penelitian Terkait	7
2.2 Studi Aliran Daya	8
2.2.1 Analisis Aliran Daya	8
2.2.2 Sistem per-unit (pu)	9
2.2.3 Persamaan Aliran daya	10
2.2.4 Aliran Daya menggunakan metode Newton Raphson	12
2.3 Stabilitas Tegangan	15
2.3.1 Stabilitas Tegangan <i>Large-disturbance</i>	15
2.3.2 Stabilitas Tegangan <i>small-disturbance</i>	15
2.3.3 Stabilitas Tegangan <i>Short-term</i>	16
2.3.4 Stabilitas Tegangan <i>Long-term</i>	16
2.4 Kurva PV	16
2.5 Sensitivitas Tegangan	17

2.6	<i>Static Var Compensator (SVC)</i>	17
BAB 3	METODOLOGI PENELITIAN	21
3.1	Metodologi.....	21
3.2	Data Kelistrikan Kalimantan 275 kV.....	23
3.3	ETAP (Electrical Transient Analyzer Program)	27
BAB 4	HASIL DAN PEMBAHASAN	29
4.1	Aliran Daya pada keadaan Normal	29
4.2	Analisis Sensitifitas Tegangan.....	31
4.3	Pemasangan SVC.....	34
4.4	Analisis Stabilitas Setelah Pemasangan SVC	35
BAB 5	KESIMPULAN	39
5.1	Kesimpulan.....	39
5.2	Saran	39
DAFTAR	PUSTAKA	41
LAMPIRAN	43
BIODATA	PENULIS	77

DAFTAR GAMBAR

Gambar 2.1 Tipikal Bus Sistem Tenaga Listrik	9
Gambar 2.2 Kurva P-V	16
Gambar 2.3 SVC sebagai Suseptansi variable a) Rangkaian FC-TCR; b) Model SVC	18
Gambar 2.4 Kurva tegangan dan daya reaktif pada SVC.....	19
Gambar 3.1 <i>Flowchart</i> metodologi dalam menyelesaikan tugas akhir	22
Gambar 3.2 <i>Backbone</i> Kalimantan 275 kV	25
Gambar 4.1 Grafik Tegangan Bus 275 kV	30
Gambar 4.2 Grafik Tegangan Bus 275 kV Setelah penambahan beban.....	31
Gambar 4.3 Kurva PV Bus GI Berau 275 kV	34
Gambar 4.4 Grafik tegangan bus 275 kV sebelum dan setelah pemasangan SVC	36
Gambar 4.5 Kurva PV Berau Setelah Pemasangan SVC	37
Gambar 4.6 Karakteristik perbaikan Kurva PV Berau Setelah Pemasangan SVC.....	38

DAFTAR TABEL

Tabel 2.1. Penelitian Sebelumnya	7
Tabel 3.1 Data Beban Kalimantan tahun 2026.....	24
Tabel 3.2 Data Pembangkitan Kalimantan.....	25
Tabel 3.3 Impedansi Pembangkit Kalimantan	25
Tabel 3.4 Data <i>line transmission</i> Kalimantan	26
Tabel 3.5 Data impedansi saluran Kalimantan.....	26
Tabel 4.1 Tegangan bus 275 keadaan normal	30
Tabel 4.2 Perbandingan tegangan sebelum dan sesudah pemasangan SVC	32
Tabel 4.3 Tegangan Bus Gi Berau setelah penambahan beban secara bertahap sampai titik kritis.....	32
Tabel 4.4 Perbandingan hasil <i>Load Flow Study backbone</i> Kalimantan 2026	35
Tabel 4.1 Tegangan Bus Gi Berau setelah penambahan beban secara bertahap sampai titik kritis.....	31
Tabel 4.2 Perbandingan hasil <i>Load Flow Study backbone</i> Kalimantan 2026	34

BAB 1

PENDAHULUAN

1.1 Latar Belakang

Indonesia direncanakan akan melakukan penambahan transmisi pada tegangan 500 kVAC sepanjang 7.6 ribu kms, 500 kVDC sepanjang 1.1 ribu kms, 275 kV sepanjang 8.2 ribu kms, 150 kV sepanjang 48.4 ribu kms, 70 kV sepanjang 2.3 ribu kms sehingga total panjang transmisi perencanaan penambahan transmisi pada tahun 2017-2026 adalah 67.4 ribu kms. Pada setiap tahun direncanakan didominasi dengan transmisi tegangan 150 kV kecuali pada tahun 2024 direncanakan akan didominasi oleh transmisi 500kVDC. Untuk tegangan 70 kV secara perlahan sampai pada tahun 2026 akan mengalami pengurangan.

Sistem kelistrikan di Kalimantan terdiri dari beberapa interkoneksi 150 kV dan terdapat beberapa sistem *isolated*. Sistem kelistrikan Kalimantan pada saat ini terdapat 4 sistem besar yang terdiri dari Sistem Khatulistiwa, Sistem Barito, Sistem Mahakam, dan Sub Sistem Bangkanai-Muara Teweh-Bunto (BMB). Sistem Khatulistiwa terletak di Kalimantan Barat memiliki sistem interkoneksi dengan tegangan 150 kV. Sistem Barito adalah sistem interkoneksi kelistrikan yang terbesar pada Kalimantan Selatan yang membentang sampai Kalimantan Tengah dengan tegangan 150 kV dan 70 kV, sistem Barito dipasok dari bermacam-macam pembangkit yang terdiri dari PLTU, PLTD minyak, PLTG minyak, dan PLTA. Sistem Mahakam merupakan sebuah sistem interkoneksi dengan tegangan 150 kV yang memasok kota Balikpapan, Samarinda, Tenggarong, dan Bontang. Sistem Mahakam di pasok oleh beberapa pembangkit yang meliputi Pembangkit Listrik Tenaga Mesin Gas (PLTMG), Pembangkit Listrik Tenaga Diesel (PLTD), Pembangkit Listrik Tenaga Gas (PLTG), Pembangkit Listrik Tenaga Gas dan Uap (PLTGU), dan Pembangkit Listrik Tenaga Uap (PLTU). Sub sistem BMB akan memasok listrik dari Gardu Induk Buntok, Muara Teweh, Bangkanai.

Pembangkit tenaga listrik di Kalimantan masih banyak yang menggunakan (PLTD) atau pembangkit dengan bahan bakar minyak. Hal ini menyebabkan biaya produksi listrik yang tinggi dan pembangkitan daya listrik dengan kapasitas yang kecil. Sehingga pada regional Kalimantan direncanakan pada tahun 2017-2026 akan menambah pembangkit dengan

kapasitas 6.9 GW, penambahan transmisi sepanjang 10.772 kms, dan untuk gardu induk berkapasitas 7.590 MVA. Dengan adanya penambahan pembangkit, transmisi, dan gardu induk akan mengurangi PLTD dan mengurangi pemakaian minyak sebagai bahan bakar pembangkit tenaga listrik di Kalimantan serta menurunkan harga produksi listrik dan meningkatkan terpenuhinya kebutuhan listrik di Kalimantan.

Untuk meningkatkan terpenuhinya kebutuhan energi listrik di Kalimantan, kualitas listrik yang disalurkan pada konsumen juga harus ditingkatkan untuk mengimbangi meningkatnya suplai listrik dan beban. Kualitas listrik seperti tegangan harus dijaga pada batas yang diijinkan atau stabilitas tegangan pada sistem tersebut harus ditingkatkan sehingga pada saat puncak beban sistem tersebut masih dalam batas yang diijinkan yaitu menurut standar $1\pm 5\%$.

Salah satu cara untuk memperbaiki stabilitas tegangan adalah dengan pemasangan *static Var Compensator (SVC)*. Pada tugas akhir ini dibahas cara memperbaiki stabilitas tegangan pada sistem *backbone* kelistrikan Kalimantan 275 kV untuk meningkatkan stabilitas tegangan dan untuk menghindari *blackout* atau pemadaman total pada sistem transmisi. Stabilitas tegangan dianalisis dengan menggunakan metode kestabilan kurva PV dan penempatan lokasi SVC dilakukan dengan metode sensitivitas tegangan. Hasil analisis tersebut akan menjadi dasar dari analisis lainnya seperti *short circuit*, kestabilan dan lain-lain. Sehingga sistem transmisi *backbone* Kalimantan 275 kV memiliki sistem tenaga listrik yang baik.

1.2 Permasalahan

Permasalahan yang dibahas pada tugas akhir ini adalah :

1. Bagaiman cara menganalisis stabilitas tegangan menggunakan kurva PV pada sistem *backbone* Kalimantan 275 KV
2. Bagaimana cara menentukan lokasi pemasangan SVC menggunakan metode sensitivitas
3. Penentuan kapasitas SVC yang akan di pasang pada sistem *backbone* Kalimantan 275 kV

1.3 Tujuan

Penelitian tugas akhir ini bertujuan untuk :

1. Mengetahui stabilitas tegangan pada sistem *backbone* Kalimantan 275 kV menggunakan kurva PV
2. Menentukan bus sebagai lokasi penempatan SVC pada sistem *backbone* Kalimantan 275 kV menggunakan metode sensitivitas tegangan
3. Menentukan kapasitas SVC yang terpasang pada bus *backbone* Kalimantan

1.4 Batasan Masalah

1. Simulasi dan analisis dilakukan pada keadaan *steady state*.
2. Analisis sistem tenaga yang dilakukan menggunakan studi aliran daya menggunakan metode Newton raphson.
3. Pemodelan dan simulasi *backbone* Kalimantan menggunakan software ETAP 12.6.0
4. Data yang digunakan menggunakan data dari PLN.
5. Penentuan lokasi SVC dilakukan menggunakan kurva PV pada bus yang memiliki sensitivitas paling besar terhadap penambahan beban.
6. Dalam penentuan SVC mengabaikan karakteristik dan rating SVC di pasaran.
7. Faktor ekonomis tidak diperhitungkan

1.5 Metodologi

Metodologi yang digunakan dalam menyusun penelitian tugas akhir ini adalah sebagai berikut:

1. Studi Literatur
Studi literatur dilakukan untuk membantu pemahaman terhadap pengerjaan penelitian tugas akhir. Mempelajari tentang aliran daya sistem tenaga khususnya pada cara memperbaiki stabilitas tegangan dengan penambahan SVC.
2. Pengumpulan Data
Data-data yang dibutuhkan pada penelitian ini adalah data sistem kelistrikan Kalimantan 275 KV yaitu berupa data pembangkitan, data saluran, dan data beban pada sistem.
3. Pemodelan Sistem dan Simulasi
Sistem tenaga listrik yang dimodelkan dan disimulasikan yaitu pada sistem *backbone* Kalimantan 275 kV dengan *software* (*Electrical Transient Analyzer Program*) ETAP 12.6.0.
4. Analisis dan Perbandingan

Pada *software* ETAP dilakukan *Load Flow Analysis* untuk mengetahui keadaan pada setiap bus yang mengalami *drop voltage* yang cukup tinggi jika diberi penambahan beban P dan Q . Kemudian dilakukan penambahan SVC dengan kapasitas yang sudah diperhitungkan untuk memperbaiki tegangan. Sehingga dapat di analisis perubahan aliran daya sebelum dan sesudah pemasangan SVC.

5. Penulisan Buku Tugas Akhir

Pada tahap yang terakhir ini adalah penulisan buku tugas akhir yang merupakan laporan dari gambaran hasil analisis dari permasalahan. Laporan tersebut merupakan jawaban dari permasalahan yang telah di analisis.

1.6 Sistematika Penulisan

Sistematika penulisan dalam tugas akhir ini terdiri atas lima bab dengan uraian sebagai berikut :

Bab 1 : Pendahuluan

Bab 1 membahas tentang penjelasan terkait latar belakang, permasalahan, tujuan, batasan masalah, metodologi, sistematika penulisan, dan relevansi terkait tugas akhir ini.

Bab 2 : Tinjauan Pustaka

Bab 2 membahas tentang penelitian-penelitian terkait tugas akhir ini dan juga tentang landasan teori yang berhubungan dengan tugas akhir ini seperti studi analisis aliran daya menggunakan metode Newton Raphson, stabilitas tegangan, kurva Pv, sensitivitas tegangan, Static Var Compensator (SVC).

Bab 3 : Perancangan dan Pemodelan

Bab 3 membahas tentang tahapan perencanaan yang akan dilakukan pada tugas akhir ini, yaitu mengenai data yang digunakan dalam tugas akhir ini, perangkat lunak yang akan digunakan, dan perancangan tentang simulasi yang dilakukan pada tugas akhir ini.

Bab 4 : Simulasi dan Analisis

Bab 4 membahas tentang hasil simulasi yang dilakukan dalam menentukan penempatan SVC dan analisis mengenai stabilitas tegangan.

Bab 5 : Penutup

Bab 5 ini membahas tentang kesimpulan yang dapat diambil dari hasil simulasi dan analisis mengenai stabilitas tegangan serta

saran untuk perbaikan dan pengembangan serta referensi bagi mahasiswa yang akan melakukan penelitian terhadap masalah yang serupa.

1.7 Relevansi

Hasil yang diperoleh dari Tugas Akhir ini diharapkan dapat memberikan manfaat dan kontribusi terhadap kemajuan teknologi dalam bidang sistem tenaga, lebih khususnya pada permasalahan-permasalahan yang terjadi pada optimasi saluran *backbone* menggunakan peralatan FACTS. Dan hasil yang diperoleh dari Tugas Akhir ini dapat menjadi dasar dan referensi untuk penelitian mahasiswa yang akan melakukan penelitian serupa sebagai Tugas Akhir.

Halaman ini sengaja dikosongkan

BAB 2

KAJIAN PUSTAKA

Pada bab ini akan ditampilkan rangkuman penelitian yang terkait dengan tugas akhir ini. Kajian penelitian terkait diberikan di subbab 2.1, sedangkan dasar teori yang berhubungan dengan topic tugas akhir ini diberikan pada subbab-subbab berikutnya.

2.1 Kajian Penelitian Terkait

Tabel 2.1. Penelitian Sebelumnya

Nama Peneliti	Judul Penelitian	Hasil Penelitian
R.D. Putra, 2017[1]	PEMASANGAN SVC UNTUK PERBAIKAN STABILITAS TEGANGAN SISTEM TRANSMISI JAMALI 500 KV SETELAH PENAMBAHAN PEMBANGKIT 1575 MW PADA TAHUN 2017	Pemasangan SVC dapat memperbaiki profil tegangan sehingga dapat berada pada batas toleransi. Sebelum pemasangan SVC profil tegangan pada bus 9 yaitu 0,93636 pu, setelah pemasangan SVC profil tegangan menjadi 0,95609 pu.

Perbedaan: penelitian yang dilakukan R.D. Putra menggunakan sistem transmisi JAMALI 500 KV sedangkan sistem yang diteliti penulis adalah system *backbone* Kalimantan 275 KV

Tabel 2.1. Penelitian Sebelumnya (lanjutan 1)

Nama Peneliti	Judul Penelitian	Hasil Penelitian
Fitri Nur Eka, 2017[2]	PENEMPATAN OPTIMAL FACTS DEVICES PADA SISTEM TRANSMISI JAWA-MADURA-BALI 500 KV TAHUN 2017 UNTUK MENINGKATKAN POWER TRANSFER CAPABILITY	Penempatan optimal TCSC pada saluran transmisi Jamali Tahun 2017 dapat meningkatkan <i>power transfer capability</i> yaitu pada saluran 8 atau saluran 6-14.

Perbedaan: penelitian yang dilakukan Fitri Nur Eka menggunakan peralatan FACTS yaitu TCSC sedangkan peralatan FACTS yang digunakan penulis yaitu SVC.

2.2 Studi Aliran Daya

Dalam sistem tenaga listrik studi aliran daya merupakan dasar dari pengoperasian sistem tenaga listrik. Pada studi aliran daya sangat penting untuk dilakukan perhitungan untuk memperoleh tegangan dan arus pada setiap bagian yang berbeda-beda pada suatu sistem tenaga listrik[3]. Hal ini sangat penting tidak hanya untuk mendesain komponen sistem tenaga listrik yang berbeda-beda tersebut seperti beberapa generator, saluran, transformator, kapasitor bank, dan lain-lain. Tetapi juga dapat berguna agar sistem tenaga listrik dapat bertahan mengalami fluktuasi beban selama operasi *steady state*[4].

2.2.1 Analisis Aliran Daya

Pada sistem tenaga listrik terdapat 4 besaran yang berhubungan dengan setiap bus pada sistem yaitu daya aktif (P), daya reaktif (Q), sudut fasa (δ), dan magnitude tegangan $|V|$. Pada aliran daya terdapat dua besaran yang harus dihitung menggunakan persamaan aliran daya dan dua lainnya telah ditentukan. Pada praktiknya dalam melakukan analisis aliran daya juga bertujuan untuk mengidentifikasi tiga tipe bus pada jaringan. Pada setiap bus dua dari empat besaran δ , P , Q , dan $|V|$ telah ditentukan dan dua lainnya dihitungkan. Besaran yang akan ditentukan dipilih berdasarkan tiga tipe bus pada sistem tenaga listrik [3]:

1. *Load buses*. Pada setiap non generator bus, dapat disebut *load bus*. Daya aktif (P) dan daya reaktif (Q) dari beban telah diketahui sehingga selanjutnya memperhitungkan besaran sudut fasa (δ) dan magnitude tegangan ($|V|$).
2. *Voltage-controlled buses* atau bus generator adalah bus yang memiliki besaran daya reaktif (P) dan magnitude tegangan $|V|$ telah ditentukan. Sehingga daya reaktif (Q) dan sudut fasa (δ) merupakan variabel yang akan di cari.
3. *Slack/swing bus* atau *reference bus* adalah bus yang memiliki magnitude tegangan $|V|$ dan sudut fasa (δ) yang telah ditentukan. Sedangkan daya aktif (P) dan daya reaktif (Q) berubah-ubah sesuai dengan yang dibutuhkan oleh sistem.

Dalam melakukan analisis aliran daya pada suatu sistem tenaga listrik diperlukan beberapa data pada bus dan saluran transmisi :

Data- data yang di butuhkan pada suatu bus yaitu :

1. Magnitude tegangan $|V|$ dalam satuan per unit (p.u.).
2. Sudut fasa (δ)
3. Daya aktif (P) dan daya reaktif (Q) pada besar pembelahan.
4. Daya aktif (P), daya reaktif (Q), Q_{\min} dan Q_{\max} pada besar pembangkitan.

Data- data yang di butuhkan pada saluran transmisi yaitu :

1. Resistansi saluran transmisi dalam satuan p.u.
2. Reaktansi saluran transmisi dalam satuan p.u.
3. Tap transformator.
4. Rating tegangan dalam satuan kV.

2.2.2 Sistem per-unit (pu)

Karena berbagai macam keuntungan dalam penggunaan satuan per-unit, pada sistem tenaga listrik dalam melakukan perhitungan analisis sistem tenaga listrik untuk mendapatkan nilai impedansi, arus, tegangan, dan daya yang dalam satuan per-unit bukan dalam satuan sebenarnya seperti ohm, ampere, kilovolt, dan megavolt-ampere (atau megavar atau megawatt). Sistem pu adalah sarana untuk mempresentasikan agar mudah dalam

membandingkannya. Nilai pu tersebut didefinisikan sebagai rasio kuantitas terhadap basis yang ditentukan nilai yang memiliki dimensi yang sama. Oleh karena itu nilai pu pada semua kuantitas bisa di definisikan sebagai kuantitas sebenarnya[5].

$$\text{nilai pu} = \frac{\text{nilai sebenarnya}}{\text{nilai dasar}} \quad (2.1)$$

Dimana nilai sebenarnya mengacu pada nilai yang di berikan dalam satuan ohm, ampere volt, dan sebagainya. Nilai dasarnya juga disebut nilai satuan karena dalam sistem pu, nilai tersebut memiliki satu atau kesatuan[6].

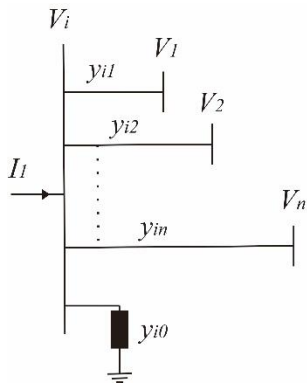
Nilai impedansi dasar (Z_{base}) dapat di tentukan menggunakan persamaan berikut:

$$Z_{base} = \frac{[KV_{base(L-N)}]^2}{MVA_{base(1\emptyset)}} \quad (2.2)$$

Nilai arus dasar (I_{base}) dapat di tentukan menggunakan persamaan berikut:

$$I_{base} = \frac{KVA_{base(1\emptyset)}}{KV_{base(L-N)}} \quad (2.3)$$

2.2.3 Persamaan Aliran daya



Gambar 2.1 Tipikal Bus Sistem Tenaga Listrik[7]

Representasi dari bus tipikal pada sistem tenaga listrik dapat di lihat pada gambar. Jaringan sistem tenaga seperti gambar impedansi-impedansi saluran transmisinya telah di ubah menjadi admitansi-admitansi per-unit pada nilai dasar MVA. Aplikasi dari hukum kirchoff dari bus seperti gambar di berikan dengan persamaan [7]:

$$I_i = y_{i0}V_i + y_{i1}(V_i - V_1) + y_{i2}(V_i - V_2) + \cdots + y_{in}(V_i - V_n) \quad (2.4)$$

$$I_i = (y_{i0} + y_{i1} + y_{i2} + \cdots + y_{in})V_i - y_{i1}V_1 - y_{i2}V_2 - \cdots y_{in}V_n \quad (2.5)$$

Atau

$$I_i = V_i + \sum_{j=0}^n y_{ij} - \sum_{j=1}^n y_{ij} - V_j \quad j \neq i \quad (2.6)$$

Keterangan :

V_i = Tegangan pada bus i

I_i = Arus yang mengalir pada bus i

y_{in} = Admintasi diantara bus i dan bus n

y_{i0} = Admintasi diantara bus i ke tanah

V_j = Tegangan pada bus j

y_{ij} = Admintasi diantara bus i dan bus j

Persamaan daya aktif dan daya reaktif pada bus I yaitu :

$$P_i + jQ_i = V_i I_i^* \quad (2.7)$$

Atau

$$I_i = \frac{P_i - jQ_i}{V_i^*} \quad (2.8)$$

Keterangan :

- V_i = Tegangan pada bus i
 I_i = Arus yang mengalir pada bus i
 P_i = Daya aktif pada bus i
 Q_i = Daya reaktif pada bus i

2.2.4 Aliran Daya menggunakan metode Newton Raphson

Persamaan aliran daya dapat diselesaikan menggunakan metode newton raphson. Deret Taylor merupakan dasar dari metode Newton Raphson dalam penyelesaian aliran daya dapat melakukan konvergensi kuadratik yang baik, lebih sedikit menggunakan iterasi, dan perhitungan lebih cepat.

Arus yang memasuki bus i dari gambar 2.2 Memiliki persamaan dan dapat di tulis ulang menjadi :

$$I_i = \sum_{j=1}^n Y_{ij} V_j \quad (2.12)$$

Persamaan diatas akan di ubah menjadi bentuk polar, maka persamaan tersebut akan menjadi :

$$I_i = \sum_{j=1}^n |Y_{ij}| |V_j| \angle \theta_{ij} + \delta_j \quad (2.13)$$

Diberikan daya kompleks pada bus i maka menjadi :

$$P_i - jQ_i = V_i^* I_i \quad (2.14)$$

Kemudian di substitusikan persamaan 2.13 untuk I_i ke dalam persamaan 2.14 sehingga daya kompleks pada bus i adalah :

$$P_i - jQ_i = |V_i| \angle -\delta_i \sum_{j=1}^n |Y_{ij}| |V_j| \angle \theta_{ij} + \delta_j \quad (2.15)$$

Untuk mendapatkan daya aktif dan daya reaktif pada bus i maka di pisahkan antara komponen riil dan imajinernya, yaitu :

$$P_i = \sum_{j=1}^n |Y_{ij}| |V_j| |V_i| \cos(\theta_{ij} - \delta_i + \delta_j) \quad (2.16)$$

$$Q_i = \sum_{j=1}^n |Y_{ij}| |V_j| |V_i| \sin(\theta_{ij} - \delta_i + \delta_j) \quad (2.17)$$

Dari persamaan diatas yaitu persamaan 2.16 dan 2.17 merupakan persamaan non linier dengan besaran tegangan dalam satuan per unit, sudut dalam radian dan terdiri dari variable bebas. Pada setiap bus memiliki satu persamaan untuk bus bus generator dan dua persamaan untuk bus beban yaitu persamaan 2.16 dan 2.17 Kemudian kedua persamaan diatas di kembangkan menjadi deret Taylor pada persamaan :

$$\begin{bmatrix} \Delta P_2^{(k)} \\ \dots \\ \Delta P_n^{(k)} \\ \hline \Delta Q_2^{(k)} \\ \dots \\ \Delta Q_n^{(k)} \end{bmatrix} = \begin{bmatrix} \frac{\partial P_2^{(k)}}{\partial \delta_2} & \dots & \frac{\partial P_2^{(k)}}{\partial \delta_n} & | & \frac{\partial P_2^{(k)}}{\partial |V_2|} & \frac{\partial P_2^{(k)}}{\partial |V_n|} \\ \hline \frac{\partial P_n^{(k)}}{\partial \delta_2} & \dots & \frac{\partial P_n^{(k)}}{\partial \delta_n} & | & \frac{\partial P_n^{(k)}}{\partial |V_2|} & \frac{\partial P_n^{(k)}}{\partial |V_n|} \\ \hline \frac{\partial Q_2^{(k)}}{\partial \delta_2} & \dots & \frac{\partial Q_2^{(k)}}{\partial \delta_n} & | & \frac{\partial Q_2^{(k)}}{\partial |V_2|} & \frac{\partial Q_2^{(k)}}{\partial |V_n|} \\ \hline \frac{\partial Q_n^{(k)}}{\partial \delta_2} & \dots & \frac{\partial Q_n^{(k)}}{\partial \delta_n} & | & \frac{\partial Q_n^{(k)}}{\partial |V_2|} & \frac{\partial Q_n^{(k)}}{\partial |V_n|} \end{bmatrix} \begin{bmatrix} \Delta \delta_2^{(k)} \\ \dots \\ \Delta \delta_n^{(k)} \\ \hline \Delta |V_2^{(k)}| \\ \dots \\ \Delta |V_n^{(k)}| \end{bmatrix}$$

Pada hal ini, diasumsikan bahwa bus 1 adalah *slack bus*. Hubungan yang linier antara sedikit perubahan dalam sudut tegangan $\Delta\delta_i^{(k)}$ dan besarnya tegangan $\Delta|V_i^{(k)}|$ serta sedikit perubahan pada daya aktif $\Delta P_i^{(k)}$ dan daya reaktif $\Delta Q_i^{(k)}$ hubungan linier tersebut di berikan oleh Matriks Jacobian. Matrik Jacobian memiliki elemen-elemen yang merupakan turunan parsial atau merupakan sebagian dari persamaan 2.16 dan 2.17 yang merupakan turunan terhadap $\Delta\delta_i^{(k)}$ dan $\Delta|V_i^{(k)}$. Dapat juga di tuliskan dalam pemodelan pendek sebagai :

$$\begin{bmatrix} \Delta P \\ - \\ \Delta Q \end{bmatrix} = \begin{bmatrix} J1 & J2 \\ - & - \\ J3 & J4 \end{bmatrix} \begin{bmatrix} \Delta \delta \\ - \\ \Delta |V| \end{bmatrix} \quad (2.18)$$

Pada *voltage-controlled* bus, telah diketahui nilai tegangan. Maka dari itu, apabila di dalam suatu system yang terdiri dari n bus, m generator, maka akan dihilangkan m persamaan untuk ΔV dan ΔQ pada suatu kolom matriks Jacobian. Dan juga Terdapat konstrain yang berkaitan dengan daya aktif adalah $n-1$, dan konstrain daya reaktif adalah $n-1-m$. Sedangkan matriks Jacobian memiliki ukuran matriks $(2n-2-m) \times (2n-2-m)$. Elemen J1 memiliki ukuran matriks $(n-1) \times (n-1)$. Elemen J2 memiliki ukuran matriks $(n-1) \times (n-1-m)$. Elemen J3 memiliki ukuran matriks $(n-1-m) \times (n-1)$ dan Elemen J4 memiliki ukuran matriks $(n-1-m) \times (n-1-m)$.

Untuk elemen J1 memiliki persamaan diagonal dan off-diagonal sebagai :

$$\frac{\partial P_i}{\partial \delta_i} = \sum_{j=1}^n |V_i| |V_j| |Y_{ij}| \sin(\theta_{ij} - \delta_i + \delta_j) \quad (2.19)$$

$$\frac{\partial P_i}{\partial \delta_i} = -|V_i| |V_j| |Y_{ij}| \sin(\theta_{ij} - \delta_i + \delta_j), j \neq 1 \quad (2.20)$$

Berikut adalah persamaan diagonal dan off-diagonal dari elemen J2 :

$$\frac{\partial P_i}{\partial |V_i|} = 2|V_i| |Y_{ii}| \cos \theta_{ii} + \sum_{j=1}^n |V_j| |Y_{ij}| \cos(\theta_{ij} - \delta_i + \delta_j) \quad (2.21)$$

$$\frac{\partial P_i}{\partial |V_i|} = 2|V_i| |Y_{ii}| \cos(\theta_{ij} - \delta_i + \delta_j), j \neq 1 \quad (2.22)$$

Berikut adalah persamaan diagonal dan off-diagonal dari elemen J3 :

$$\frac{\partial Q_i}{\partial \delta_i} = \sum_{j=1}^n |V_i| |V_j| |Y_{ij}| \cos(\theta_{ij} - \delta_i + \delta_j) \quad (2.23)$$

$$\frac{\partial Q_i}{\partial \delta_i} = -|V_i| |V_j| |Y_{ij}| \cos(\theta_{ij} - \delta_i + \delta_j), j \neq 1 \quad (2.24)$$

Berikut adalah persamaan diagonal dan off-diagonal dari elemen J4 :

$$\frac{\partial Q_i}{\partial |V_i|} = -2|V_i||Y_{ii}|\cos \theta_{ii} + \sum_{j=1}^n |V_j||Y_{ij}|\sin(\theta_{ij} - \delta_i + \delta_j) \quad (2.25)$$

$$\frac{\partial Q_i}{\partial |V_i|} = -|V_i||Y_{ij}|\sin(\theta_{ij} - \delta_i + \delta_j), j \neq 1 \quad (2.26)$$

2.3 Stabilitas Tegangan

Stabilitas tegangan didefinisikan sebagai kemampuan sistem tenaga untuk mempertahankan nilai tegangan di semua bus agar tetap pada batas yang diijinkan saat dalam kondisi operasi normal atau setelah mengalami gangguan. Tergantung pada kemampuan untuk mempertahankan atau mengembalikan keseimbangan antara permintaan beban dan memuat pasokan dari sistem tenaga. Ketidakstabilan yang mungkin muncul dalam drop tegangan atau naiknya tegangan beberapa bus. Ketidakstabilan tegangan dapat terjadi karena hilangnya beban di suatu area, atau terputusnya jalur transmisi dan elemen lainnya yang kemudian akan menyebabkan hilangnya sinkronisme generator[8].

Stabilitas tegangan dapat diklasifikasikan menjadi empat kategori[7], [9][10]:

2.3.1 Stabilitas Tegangan *Large-disturbance*

Gangguan ini mengacu pada kemampuan sistem untuk mempertahankan stabilitas tegangan pada gangguan besar seperti gangguan pada sistem, terputusnya generator. Kemampuan ini ditentukan oleh karakteristik sistem dan beban, dan kesinambungan interaksi antara keduanya dan control dan proteksi.

2.3.2 Stabilitas Tegangan *small-disturbance*

Stabilitas tegangan gangguan kecil ini mengacu pada kemampuan sistem untuk mempertahankan stabilitas tegangan ketika mengalami gangguan kecil seperti penambahan beban pada sistem.

2.3.3 Stabilitas Tegangan *Short-term*

Stabilitas tegangan jangka pendek melibatkan dinamika komponen beban kerja cepat seperti motor induksi, beban yang dikontrol secara elektronik dan converter HVDC (High Voltage Direct Current).

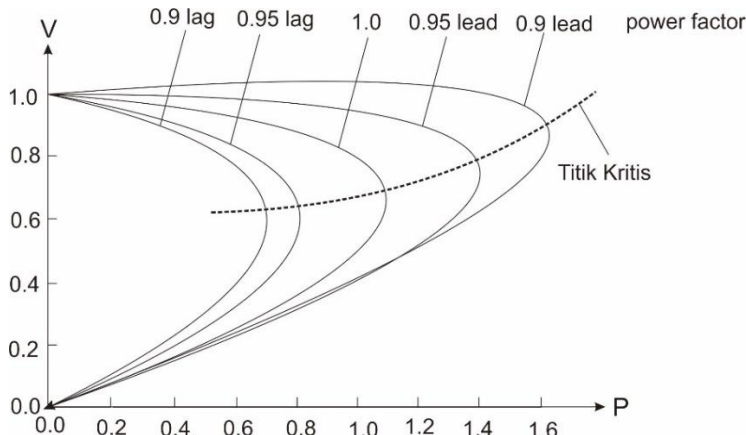
2.3.4 Stabilitas Tegangan *Long-term*

Stabilitas tegangan jangka pendek melibatkan peralatan kerja yang lebih lambat seperti *tap-changing* transformator, kontrol termostatik pembatas arus beban dan generator.

2.4 Kurva PV

Ketidakstabilan tegangan sering menjadi objek dalam penelitian untuk dianalisis seperti pada permasalahan-permasalahan kondisi *steady state*. Dalam proses analisis stabilitas tegangan metode utama digunakan adalah simulasi aliran daya. Terdapat dua metode dasar lain yang paling luas digunakan dalam analisis stabilitas tegangan yaitu kurva P-V dan kurva Q-V.

Kurva PV di gunakan untuk menganalisis stabilitas tegangan dengan cara melihat pada saat total beban (MW) berapa terjadi kollaps pada tegangan sistem. Pada saat tegangan sistem terjadi kollaps maka total beban saat kollaps itulah yang merupakan batas kemampuan sistem dalam menyalurkan daya aktif. Berikut adalah gambar dari kurva PV :



Gambar 2.2 Kurva P-V[9], [11], [12][1]

Pada gambar 2.3 tersebut terdapat garis putus-putus yang menyatakan titik tersebut adalah batas titik kritis. Titik tersebut dapat menjadi batas kemampuan beban pada kondisi *steady state* untuk stabilitas tegangan jaringan. Kondisi dibagian bawah titik kritis merupakan daerah dimana jaringan dalam kondisi operasi tidak stabil, sedangkan dibagian atas titik kritis merupakan daerah dimana jaringan dalam kondisi operasi stabil.

2.5 Sensitivitas Tegangan

Sensitivitas tegangan merupakan keadaan dimana saat suatu bus diberikan penambahan beban, keadaan tegangan pada bus tersebut mengalami penurunan tegangan. Adanya penambahan suatu beban daya aktif dan daya reaktif (P dan Q) dapat menyebabkan bus beban mengalami penurunan tegangan. Jika terjadi penambahan beban pada bus beban sedangkan pada sumber listrik tidak dilakukan penambahan sumber listrik maka akan mengakibatkan drop tegangan atau penurunan tegangan pada bus beban tersebut[13].

Dalam menganalisis sensitivitas tegangan pada setiap bus dalam jaringan digunakan metode Newton Raphson. Bus yang paling sensitive didapatkan dari dilakukannya perhitungan terhadap perubahan tegangan (ΔV) pada setiap bus dalam jaringan. Sehingga akan terjadi drop tegangan pada bus tersebut ketika di berikan penambahan beban daya aktif dan daya reaktif (P dan Q). Berikut adalah persamaan drop tegangan pada bus[14] :

$$|V_i^{(k+1)}| = |V_i^k| + \Delta |V_i^k| \quad (2.27)$$

Dari persamaan 2.27 didapatkan :

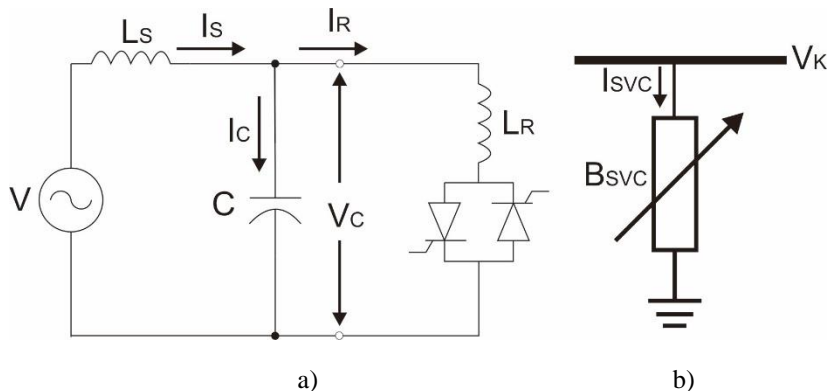
$$\Delta |V_i^k| = |V_i^{(k+1)}| - |V_i^k| \quad (2.28)$$

2.6 Static Var Compensator (SVC)

Static Var Compensator (SVC), menurut *Institute of Electrical and Electronic Engineers* (IEEE) adalah sebuah Var statis generator yang outputnya divariasikan untuk mengubah arus kapasitif atau arus induktif untuk menjaga atau mengendalikan parameter khusus dari sistem tenaga listrik, biasanya tegangan pada bus.

Tujuan utama dari SVC biasanya adalah untuk mengendalikan tegangan dengan reaksi cepat pada bagian yang lemah dalam suatu jaringan tenaga listrik[15].

Dalam bentuk yang paling sederhana, SVC terdiri dari Thyristor Controlled Reactor (TCR) secara parallel dengan *fixed capacitor*. Dari sudut pandang operasional, SVC berperilaku seperti reaktan variable yang terhubung shunt, yang berfungsi untuk menginjeksikan atau menyerap daya reaktif untuk mengendalikan besarnya tegangan pada titik koneksi ke jaringan AC. Hal tersebut digunakan secara ekstensif untuk memberikan dengan cepat daya reaktif dan untuk membantu regulasi tegangan. Kontrol sudut dari thyristor memungkinkan SVC memiliki kecepatan respon yang hamper seketika[16]. SVC sebagai suseptansi variable dalam pemodelannya dapat kita tentukan besar daya reaktif yang di injeksikan atau yang diserap pada sistem.



Gambar 2.3 SVC sebagai Suseptansi variable a) Rangkaian FC-TCR; b) Model SVC

Menurut Gambar 2.3 persamaan dalam mencari arus yang mengalir pada SVC adalah :

$$I_{SVC} = j B_{SVC} V_{bus} \quad (2.29)$$

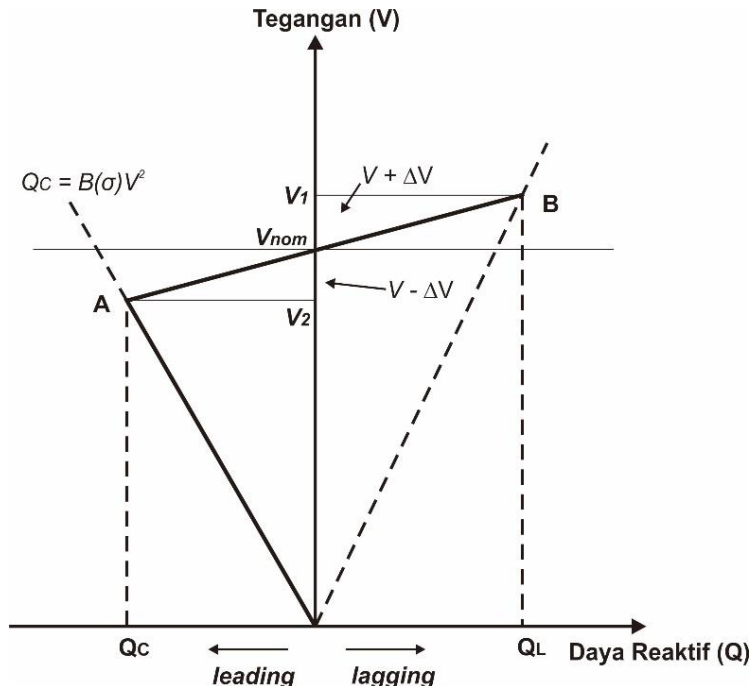
Berikut adalah persamaan besar dari suseptansi SVC (B_{SVC}) yang dinyatakan sebagai fungsi sudut konduksi thyristor (σ) :

$$B_{SVC} = B_C - B_L(\sigma) \quad (2.30)$$

Daya reaktif yang diinjeksikan ke bus oleh SVC dapat di perhitungkan berdasarkan persamaan 2.29 dan 2.30

$$Q_{SVC} = -B_{SVC} V_{bus}^2 \quad (2.31)$$

Berikut adalah kurva daya reaktif yang dihasilkan oleh SVC terhadap tegangan bus yang dipasang SVC :



Gambar 2.4 Kurva tegangan dan daya reaktif pada SVC

SVC memiliki tiga area kerja, yaitu [17]:

- a. Area kerja Pertama terletak diantara V_1 dan V_2 . Pada area tersebut, SVC memiliki sifat induktif atau kapasitif. Dan menghasilkan daya reaktif yang berubah-ubah sesuai dengan kebutuhan sistem dan hal ini berkaitan dengan persamaan 2.31.
- b. Area kerja kedua pada saat tegangan bus melebihi V_1 . Pada area ini SVC bersifat induktif.
- c. Area kerja ketiga pada saat tegangan kurang dari V_2 . Pada area ini SVC hanya berfungsi sebagai *fixed capacitor*.

BAB 3

METODOLOGI PENELITIAN

Pada bab tiga ini akan dibahas metodologi dalam menyelesaikan tugas akhir ini. Dimulai dari sistem tenaga listrik yang akan menjadi objek dalam penelitian pada tugas akhir ini yaitu menggunakan *backbone* Kalimantan yang terdiri dari Kalimantan Barat, Kalimantan Selatan, Kalimantan Tengah, Kalimantan Timur, dan Kalimantan Utara. Kemudian untuk melakukan simulasi aliran daya pada *backbone* Kalimantan yaitu menggunakan *software* simulasi ETAP 12.6.0 dan matlab untuk plot dari kurva PV.

Setelah simulasi aliran daya dilakukan, selanjutnya adalah perhitungan dalam mencari bus yang akan dipasang SVC, yaitu bus yang paling sensitif. Bus yang paling sensitif tersebut akan dianalisis stabilitas tegangannya dengan menggunakan kurva PV. Perhitungan untuk mencari kapasitas dari SVC agar ketika bus paling sensitif tersebut sampai pada titik kritisnya ketika dipasang SVC, tegangan pada bus tersebut masih dalam batas toleransi, yaitu sebesar 95% - 105% dari tegangan nominal jaringan. Selanjutnya, akan dilakukan perbandingan terhadap tegangan pada bus paling sensitif tersebut pada saat sebelum dipasang SVC dan ketika dipasang SVC.

3.1 Metodologi

Berikut adalah metode yang akan digunakan dalam penelitian pada tugas akhir ini :

1. Studi Literatur

Studi literatur dilakukan untuk membantu pemahaman terhadap penggerjaan penelitian tugas akhir.

2. Pengumpulan Data

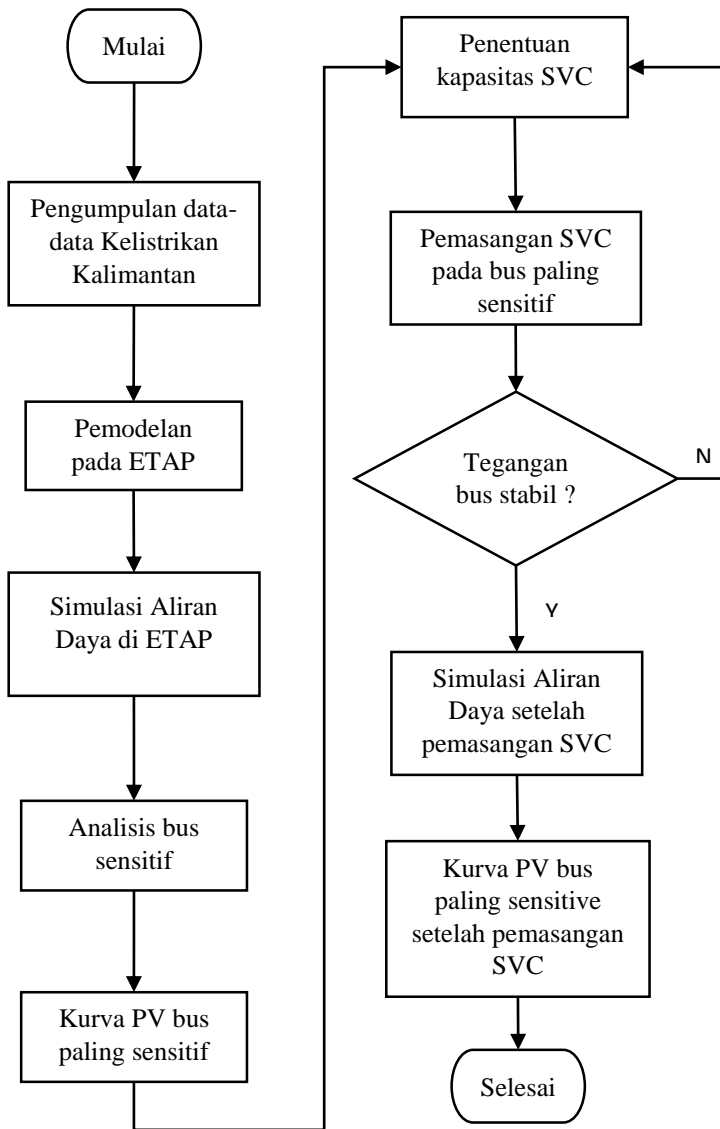
Data-data yang dibutuhkan pada penelitian ini adalah data sistem kelistrikan Kalimantan 275 KV yaitu berupa data pembangkitan, data saluran, dan data beban pada sistem.

3. Pemodelan Sistem dan Simulasi

Sistem tenaga listrik yang dimodelkan dan disimulasikan yaitu pada sistem *backbone* Kalimantan 275 kV.

4. Analisis dan Perbandingan

Akan dilakukan analisis dan perbandingan untuk aliran daya sebelum dan sesudah penambahan SVC.



Gambar 3.1 Flowchart metodologi dalam menyelesaikan tugas akhir

Berikut merupakan penjelasan detail dari *flowchart* gambar 3.1 mengenai metodologi dalam menyelesaikan tugas akhir :

Langkah 1 : Mengumpulkan data-data kelistrikan *backbone* Kalimantan 275 kV seperti data beban, impedansi saluran, impedansi generator dan lain-lain.

Langkah 2 : Memodelkan sistem kelistrikan Kalimantan 275 kV dan 150 kV pada perangkat lunak ETAP menggunakan metode Newton Raphson.

Langkah 3 : Melakukan simulasi *load flow analysis* atau simulasi aliran daya pada perangkat lunak ETAP.

Langkah 4 : Mencari bus 275 kV yang paling sensitif dengan melakukan penambahan beban dan di dapat bus yang memiliki drop tegangan tertinggi atau yang memiliki sensitivitas tegangan tertinggi.

Langkah 5 : Membuat kurva pv dari bus yang paling sensitif sebelum pemasangan SVC.

Langkah 6 : Dilakukan penentuan kapasitas SVC yaitu dengan mengasumsikan kapasitas SVC agar bus paling sensitif memiliki tegangan pada batas yang diijinkan pada saat titik kritis.

Langkah 7 : Dilakukan pemasangan SVC pada bus paling sensitif.

Langkah 8 : Dilakukan simulasi aliran daya pada ETAP setalah pemasangan SVC.

Langkah 9 : Menganalisis dengan cara membandingkan tegangan bus sensitif Sebelum pemasangan SVC dan sesudah pemasangan SVC Menggunakan kurva PV.

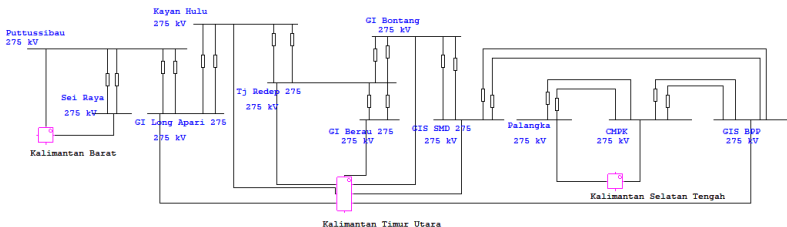
3.2 Data Kelistrikan Kalimantan 275 kV

Dalam melakukan analisis stabilitas tegangan diperlukan adanya pemodelan sistem tenaga listrik, pada penelitian ini sistem tenaga listrik yang digunakan adalah sistem kelistrikan *backbone* Kalimantan 275 kV. Namun pada tugas akhir juga dimodelkan saluran transmisi Kalimantan dengan tegangan 150 kV.

Data-data kelistrikan yang diperlukan dalam memodelkan sistem kelistrikan kalimantan ini yaitu data beban Kalimantan tahun 2026, data pembangkitan Kalimantan tahun 2026, Impedansi pembangkit, dan data *line transmission* (Kalimantan Barat, Kalimantan Selatan, Kalimantan Tengah, kalimantan Timur, dan Kalimantan Utara). Berikut data-data kelistrikan Kalimantan yang digunakan :

1. Single Line Diagram backbone Kalimantan 275 kV

Untuk pemodelan *backbone* Kalimantan 275 kV dimodelkan menggunakan *single line diagram* pada *software* ETAP yang ditunjukkan pada gambar 3.2.



Gambar 3.2 Backbone Kalimantan 275 kV

2. Data Beban Kalimantan Tahun 2026

Tabel 3.1 Data Beban Kalimantan tahun 2026

No.	NAMA GI	Teg.(kV)	Beban Puncak Tahun 2026 (MW)
1	GI BERAU	150/20	52
2	GI BULUNGAN/ TANJUNG SELOR	150/20	26,84
3	GI SEKATAK	150/20	4,3
4	GI MALINAU	150/20	20,13
5	GI KRAYAN	150/20	1,05
6	GI KAYAN HULU	150/20	1,05
7	GI TANA TIDUNG	150/20	3,88
8	GI TALISAYAN	150/20	2,92
9	GI PLTU LATI	150/20	7,05
10	GI SEBUKU	150/20	1,22

Dari Tabel 3.1 terlihat bahwa setiap GI memiliki perkiraan beban puncak pada tahun 2006. Untuk data keseluruhan GI yang ada pada Kalimantan dapat dilihat pada Lampiran 1.

3. Data Pembangkitan Kalimantan

Tabel 3.2 Data Pembangkitan Kalimantan

No.	Provinsi	ID	Jenis	Unit	Kapasitas [MW]
1	Kalimantan Barat	Parit Baru (FTP1)	PLTU	#1,2	2x50
2		MPP Kalbar (PLTG)	PLTG	#1,2,3 ,4	4x25
3		Kalbar Peaker	PLTG	#1,2,3 ,4	4x25
4		Parit Baru (FTP2)	PLTU	#1,2	2x55
5		Pantai Kura-Kura	PLTU	#1,2	2x27.5
6		Kalbar 1	PLTU	#1,2	2x100

Berdasarkan table 3.2 dapat dilihat bahwa Kalimantan Barat memiliki beberapa pembangkit yaitu PLTU dan PLTG dengan unit dan kapasitas yang berbeda-beda. Untuk lebih lengkap tentang data pembangkit dari Kalimantan yaitu pembangkit pada Kalimantan Selatan, Kalimantan Utara, Kalimantan Tengah, dan Kalimantan Timur dapat dilihat pada lampiran 2.

4. Impedansi Pembangkit Kalimantan

Tabel 3.3 Impedansi Pembangkit Kalimantan

Jenis	Kapasitas [MW]	Apparent Power [MVA]	xd	xq	xd'	xq'
PLTU	50	62,5	1,05	0,98	0,185	0,36
PLTG	25	31,25	1,27	1,24	0,209	0,85
PLTU	65	85,312	1,18	1,05	0,223	0,38
MPP	2x30	63,5	2,25	1,805	0,223	0,3
PLTA	100	125	1,22	1,16	0,174	0,25
PLTU	25	31,25	1,4	1,372	0,231	0,715
PLTMG	10	12,163	1,07	0,66	0,408	

Pada tabel 3.3 terlihat bahwa setiap jenis dan kapasitas memiliki parameter yang berbeda. Untuk lebih lengkap tentang data jenis, kapasitas, dan parameter-parameter yang digunakan dapat dilihat pada lampiran 3.

5. Data *line transmission* Kalimantan

Tabel 3.4 Data *line transmission* Kalimantan

No	Transmisi		Lingkup		Kms
	Dari	Ke	Penampang	Line	
1	Sambas	Singkawang	ACSR 1x240mm	doubl e	275,2
2	Singkawang	Bengkayang	ACSR 1x240mm	doubl e	294,2
3	Bengkayang	Ngabang	ACSR 2x240mm	doubl e	180
4	Ngabang	Tayan	ACSR 2x240mm	doubl e	110
5	Tayan	Siantan	ACSR 1x240mm	doubl e	184
6	Siantan	Sei Raya	ACSR 1x240mm	doubl e	72,12
7	Siantan	Kota Baru	ACSR 1x240mm	single	39,69

Pada Tabel 3.4 terlihat beberapa data yaitu data saluran transmisi antar GI, kabel transmisi, dan panjang yang digunakan serta ukuran kabel transmisi. Untuk data lebih lengkap mengenai data seluruh *line transmission* Kalimantan dapat dilihat pada lampiran 4,5,6.

6. Impedansi Saluran Kalimantan

Tabel 3.5 Data impedansi saluran Kalimantan

No.	Penampang	R' positif (Ohm/km)	R' negatif (Ohm/km)	R'0 (Ohm/km)	X' (Ohm/km)
1	ACSR 1x240mm	0,1183	0,1183	0,321	0,40694

Tabel 3.5 Data impedansi saluran Kalimantan (lanjutan 1)

No.	Penampang g	R' positif (Ohm/km)	R' negatif (Ohm/km)	R'0 (Ohm/km)	X' (Ohm/km)
2	ACSR 2x240mm	0,06	0,06	0,261095	0,29614
3	Single Hawk	0,129	0,129	0,554	0,4049
4	Double Hawk	0,0647	0,0647	0,554	0,28
5	Double Zebra	0,0199	0,0199	0,554	0,2874

Dari table 3.5 Terlihat bahwa setiap macam penampang memiliki impedansi yang berbeda-beda dan meskipun macam yang sama tapi ukuran berbeda memiliki impedansi yang berbeda pula. Untuk lebih lengkap mengenai data impedansi saluran Kalimanta dapat dilihat pada lampiran 7.

3.3 ETAP (Electrical Transient Analyzer Program)

Dalam melakukan proses aliran daya sistem tenaga listrik telah tersedia beberapa perangkat lunak. Salah satunya adalah ETAP (Electrical Transient Analyzer Program) perangkat lunak ini memiliki beberapa *tools* seperti *load flow analysis*, *Short-Circuit Analysis*, *Motor Acceleration Analysis*, *Harmonic analysis*, dan lain-lain. Pada tugas akhir digunakan perangkat lunak ETAP dengan *tools* yaitu menggunakan *load flow analysis*. Untuk aliran daya dengan pemasangan SVC juga menggunakan perangkat lunak ETAP.

Dalam ETAP *load flow study*, SVC direpresentasikan sebagai sebuah variable *static load*. SVC mengatur tegangan pada busnya dengan mengontrol jumlah dari daya reaktif yang diinjeksikan kedalam sistem tenaga listrik. Ketika menjalankan aliran daya pada suatu sistem yang terpasang SVC, aliran daya akan menentukan tegangan yang ada pada sistem tanpa SVC terlebih dahulu. Jika tegangan awal pada bus yang terpasang SVC lebih rendah dari pada tegangan referensi, SVC akan menginjeksikan daya reaktif. Dan jika tegangan awal pada bus yang terpasang SVC lebih tinggi dari pada tegangan referensi maka SVC akan menyerap daya reaktif.

Halaman ini sengaja dikosongkan

BAB 4

HASIL DAN PEMBAHASAN

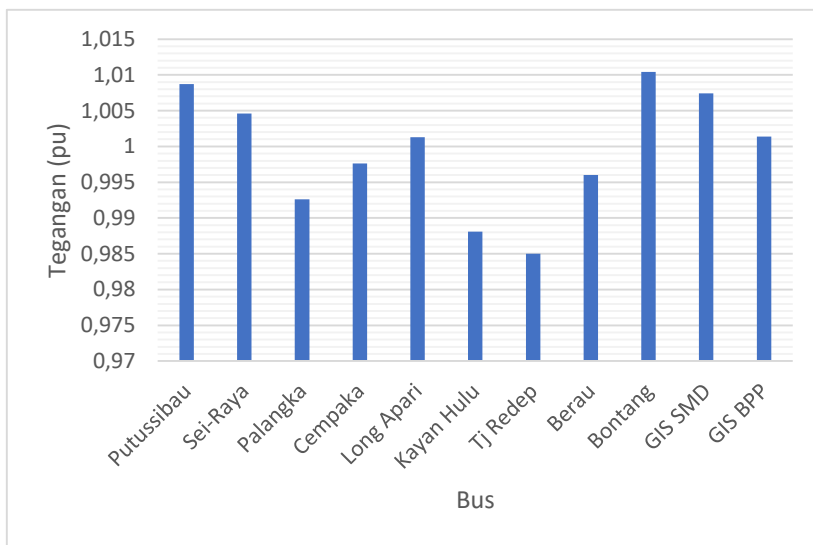
Pada Bab 4 ini, akan dibahas analisis terkait dengan hasil simulasi penentuan lokasi pemasangan SVC dan penentuan SVC pada *backbone* Kalimantan 275 kV pada tahun 2026. Sehingga dapat diketahui bagaimana dampak pemasangan SVC pada stabilitas tegangan pada *backbone* Kalimantan 275 kV. Dalam menentukan penentuan lokasi pemasangan akan dicari bus yang memiliki sensitivitas tegangan paling tinggi. Setalah di temukan lokasi pemasangan SVC atau bus yang memiliki sensitivitas paling tinggi, kemudian akan ditentukan kapasitas dari SVC.

Penentuan kapasitas SVC dilakukan dengan mengasumsikan nilai daya reaktif yang diinjeksikan pada bus yang memiliki sensitivitas tegangan paling tinggi. Sehingga, ketika bus tersebut pembebanannya sampai pada titik kritis, tegangan bus tersebut masih di dalam batas $1 \pm 5\%$ sesuai standar.

Selanjutnya, akan dibuat kurva PV bus tersebut sebelum pemasangan SVC dan setelah pemasangan SVC. Akan dilakukan juga analisis pemasangan tersebut terhadap stabilitas tegangan bus tersebut.

4.1 Aliran Daya pada keadaan Normal

Simulasi Aliran daya merupakan hal yang harus dilakukan dalam menganalisis stabilitas tegangan. Pada tugas akhir ini akan dilakukan aliran daya pada *backbone* Kalimantan 275 kV pada keadaan normal dimana belum adanya penambahan beban dan belum ada pemasangan SVC pada bus 275 kV. Sehingga dapat menunjukkan tegangan pada setiap bus pada *backbone* Kalimantan 275 kV.



Gambar 4.1 Grafik Tegangan Bus 275 kV

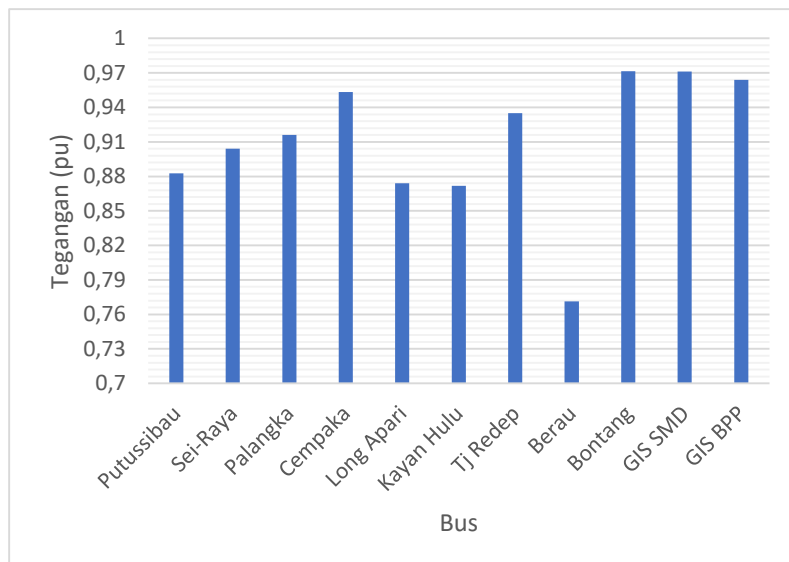
Tabel 4.1 Tegangan bus 275 keadaan normal

Nama BUS	Tegangan (pu)
Putussibau	1,0087
Sei-Raya	1,0046
Palangka	0,9926
Cempaka	0,9976
Long Apari	1,0013
Kayan Hulu	0,9881
Tj Redep	0,985
Berau	0,996
Bontang	1,0104
GIS SMD	1,0074
GIS BPP	1,0014

Berdasarkan Gambar 4.1 dapat diketahui pada saat belum adanya penambahan beban secara bertahap semua tegangan bus 275 KV pada *backbone* Kalimantan memiliki nilai Antara 0,98-1,015. Nilai tersebut telah memenuhi standar tegangan yaitu $1\pm 5\%$.

4.2 Analisis Sensitifitas Tegangan

Untuk Mengetahui Lokasi bus yang memiliki sensitivitas tegangan paling sensitif dilakukan simulasi penambahan beban (P dan Q) secara bertahap sampai batas tertentu. Kemudian untuk setiap kasus di bandingkan hasilnya sehingga dapat di tentukan bus yang memiliki drop tegangan paling tinggi atau yang paling sensitif tegangannya.



Gambar 4.2 Grafik Tegangan Bus 275 kV Setelah penambahan beban

Tabel 4.2 Perbandingan tegangan sebelum dan sesudah pemasangan SVC

Nama Bus	Sebelum Penambahan beban(pu)	Setelah Penambahan beban(pu)	$\Delta V(\text{pu})$
Putussibau	1,0087	0,8828	0,1259
Sei-Raya	1,0046	0,904	0,1006
Palangka	0,9926	0,916	0,0766
Cempaka	0,9976	0,9535	0,0441
Long Apari	1,0013	0,874	0,1273
Kayan Hulu	0,9881	0,8718	0,1163
Tj Redep	0,985	0,9351	0,0499
Berau	0,996	0,7714	0,2246
Bontang	1,0104	0,9714	0,039
GIS SMD	1,0074	0,9713	0,0361
GIS BPP	1,0014	0,9638	0,0376

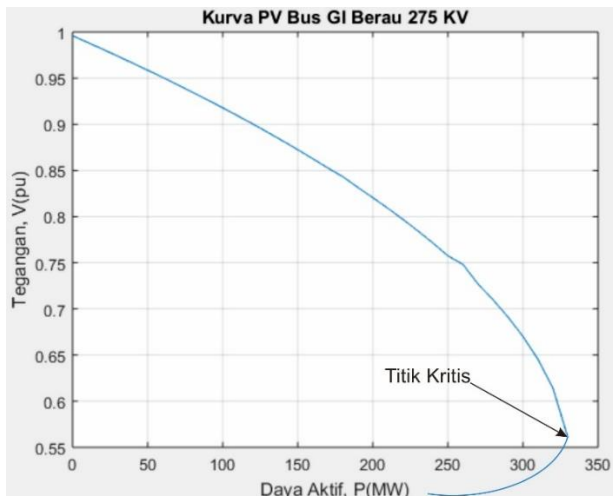
Dari gambar 4.2 dapat dilihat hasil perhitungan ΔV didapatkan bus Berau mengalami drop tegangan terbesar pertama yaitu sebesar 0,2246 pu. Sehingga bus Berau merupakan lokasi pemasangan SVC. Hal ini dikarenakan jarak dengan pembangkit yang lebih jauh dibandingkan dengan beberapa bus yang lain dan bus Berau memiliki beban yang cukup besar jika dibandingkan dengan beban pada bus lain. Jika ditambah beban maka bus Berau lebih cepat dan lebih banyak mengalami drop tegangan dari pada bus-bus lain karena arus yang mengalir akan bertambah dan kemudian akan menyebabkan rugi-rugi saluran. Sehingga terjadi drop tegangan pada bus tersebut.

Tabel 4.3 Tegangan Bus Gi Berau setelah penambahan beban secara bertahap sampai titik kritis

Bus Gi Berau 275 KV				
NO	V1 (pu)	P (MW)	Q (Mvar)	V2 (pu)
1	0,996	0	0	0,996
2	0,996	10	7	0,9887
3	0,9887	20	14	0,9814
4	0,9814	30	21	0,9739
5	0,9739	40	28	0,9663

Tabel 4.3 Tegangan Bus Gi Berau setelah penambahan beban secara bertahap sampai titik kritis (lanjutan 1)

Bus Gi Berau 275 KV				
NO	V1 (pu)	P (MW)	Q (Mvar)	V2 (pu)
6	0,9663	50	35	0,9586
7	0,9586	60	42	0,9508
8	0,9508	70	49	0,9428
9	0,9428	80	56	0,9346
10	0,9346	90	63	0,9263
11	0,9263	100	70	0,9179
12	0,9179	110	77	0,9092
13	0,9092	120	84	0,9004
14	0,9004	130	91	0,8913
15	0,8913	140	98	0,882
16	0,882	150	105	0,8725
17	0,8725	160	112	0,8627
18	0,8627	170	119	0,8527
19	0,8527	180	126	0,8432
20	0,8432	190	133	0,8316
21	0,8316	200	140	0,8205
22	0,8205	210	147	0,809
23	0,809	220	154	0,797
24	0,797	230	161	0,7845
25	0,7845	240	168	0,7714
26	0,7714	250	175	0,7575
27	0,7575	260	182	0,7482
28	0,7482	270	189	0,7271
29	0,7271	280	196	0,71
30	0,71	290	203	0,6912
31	0,6912	300	210	0,6701
32	0,6701	310	217	0,6453
33	0,6453	320	224	0,614
34	0,614	330	231	0,5604



Gambar 4.3 Kurva PV Bus GI Berau 275 kV

Dari Gambar 4.3 dapat diketahui Kurva PV dari bus Berau setelah penambahan beban secara bertahap sampai titik kritis pada bus tersebut. Beban yang diberikan secara bertahap yaitu beban P dan Q dengan $\cos \phi$ beban 0,8192. Bus Berau memiliki titik kritis pada tegangan 0,5604 pu. Pada keadaan ini nilai tegangan Berau pada titik kritis berada dibawah standar $1\pm 5\%$. Sehingga akan dilakukan peningkatan stabilitas tegangan pada bus Berau sehingga pada saat pembebanan titik kritis pada keadaan ini bus Berau memiliki nilai tegangan sesuai standar.

4.3 Pemasangan SVC

Pemasangan SVC dilakukan berdasarkan karakteristik kurva PV dari bus sensitif. Pemasangan dilakukan untuk memperbaiki tegangan pada bus yang memiliki sensitivitas tegangan tertinggi dengan cara menginjeksikan daya reaktif (Q). Berdasarkan gambar 4.2 telah diketahui bus Berau memiliki tegangan yang paling drop sehingga bus Berau adalah lokasi penempatan SVC.

Kapasitas SVC yang akan dipasang pada bus Berau diasumsikan 0-300 Mvar. Setelah simulasi pemasangan SVC pada *backbone* Kalimantan 275 KV dipilih injeksi SVC paling besar, agar ketika bus Berau pada saat beban kritis memiliki tegangan yang berada pada standar yaitu $1\pm5\%$. Sehingga besar daya reaktif yang diinjeksikan pada bus Berau adalah 296,3 Mvar.

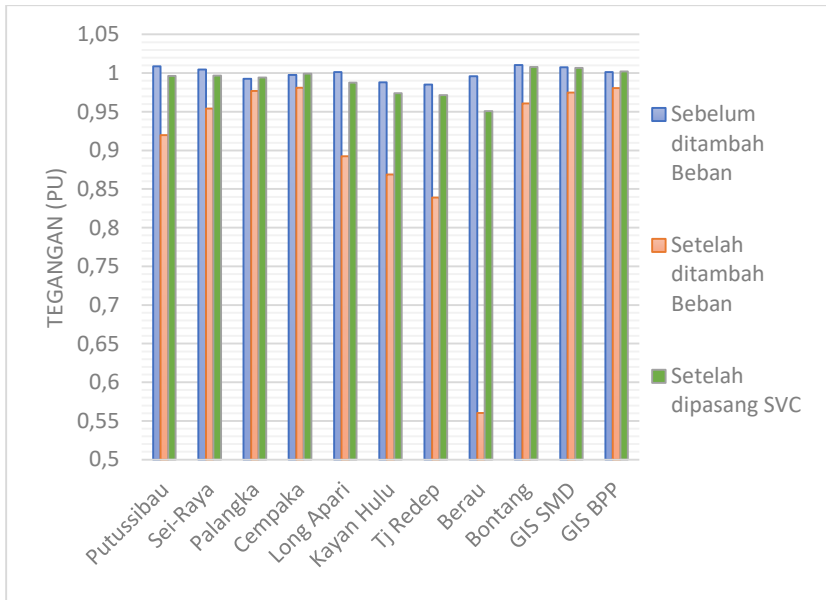
4.4 Analisis Stabilitas Setelah Pemasangan SVC

Pemasangan SVC akan bertindak sebagai suplai daya reaktif atau juga sebagai kompensasi penyerapan daya reaktif oleh beban. Karena salah satu faktor terjadinya drop tegangan pada sisi penerima adalah karena adanya beban yang bersifat induktif.

Hasil perbandingan dari simulasi *load flow* pada ETAP untuk tegangan pada saat sebelum penambahan SVC dan setelah penambahan SVC dapat ditunjukkan pada tabel

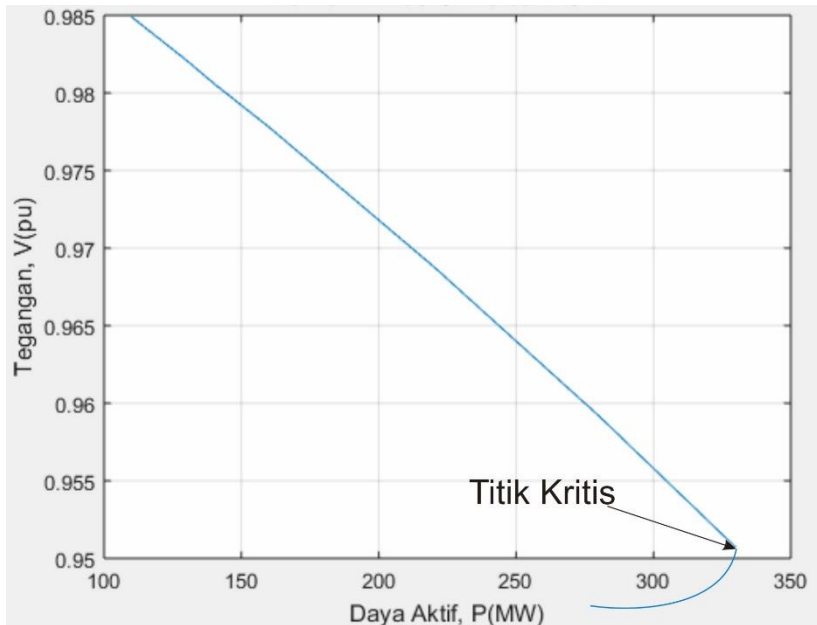
Tabel 4.4 Perbandingan hasil *Load Flow Study backbone* Kalimantan 2026

Bus	Sebelum Pemasangan SVC		Setelah Pemasangan SVC	
	V (pu)	V (kV)	V(pu)	V(kV)
Putussibau	0,9197	252,4	0,9962	274
Sei-Raya	0,9542	262,4	0,9967	274,1
Palangka	0,9768	268,6	0,9941	273,4
Cempaka	0,9812	269,8	0,9991	274,7
Long Apari	0,8926	245,5	0,9877	271,6
Kayan Hulu	0,869	239	0,9742	267,9
Tj Redep	0,839	230,7	0,9714	267,1
Berau	0,5604	154,1	0,9507	261,4
Bontang	0,9607	264,2	1,0078	277,1
GIS SMD	0,975	268,1	1,0067	276,8
GIS BPP	0,9806	269,7	1,0021	275,6



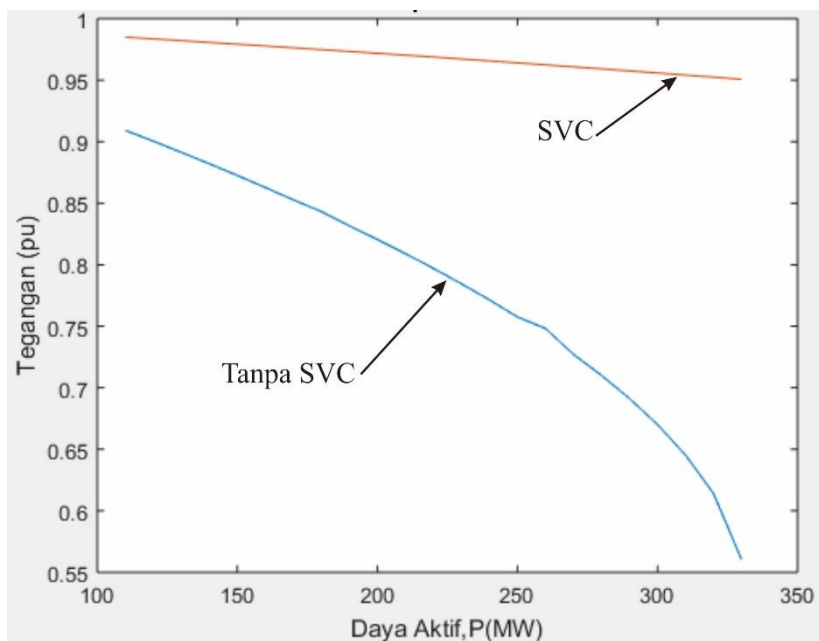
Gambar 4.4 Grafik tegangan bus 275 kV sebelum dan setelah pemasangan SVC

Dari gambar 4.4 dapat dilihat bahwa penambahan beban akan mempengaruhi tegangan pada bus yaitu terjadi penurunan tegangan. Namun setelah dilakukan penambahan beban pada bus Berau mempengaruhi tegangan pada bus yang lain juga yaitu mengakibatkan drop tegangan akibat penambahan beban pada bus Berau. Sehingga perlu adanya perbaikan tegangan pada sistem tersebut. Sehingga dipasang SVC pada bus Berau, SVC berfungsi untuk menginjeksikan daya reaktif pada sistem. Setalah dipasang SVC tegangan pada bus Berau mengalami perbaikan tegangan dari 0,5604 pu menjadi 0,9507 pu sehingga memiliki tegangan yang diijinkan yaitu pada sesuai standar tegangan yaitu $1 \pm 5\%$.



Gambar 4.5 Kurva PV Berau Setelah Pemasangan SVC

Berdasarkan gambar 4.5 dapat dilihat lebih detail lagi penambahan beban secara bertahap dari bus Berau setelah pemasangan SVC. Setalah dipasang SVC tegangan pada bus Berau mengalami perbaikan tegangan dari 0,9507 pu menjadi 0,9507 pu sehingga memiliki tegangan yang diijinkan yaitu pada sesuai standar tegangan yaitu $1\pm 5\%$.



Gambar 4.6 Karakteristik perbaikan Kurva PV Berau Setelah Pemasangan SVC

Berdasarkan gambar 4.6 dapat dilihat perbandingan kurva PV bus Berau sebelum dan setelah pemasangan SVC. Terlihat bahwa dengan pemasangan SVC pada bus Berau, bus tersebut dapat lebih baik dalam menjaga tegangan pada batas yang diijinkan dari pada tanpa menggunakan SVC dari penurunan tegangan akibat penambahan.

BAB 5 **KESIMPULAN**

5.1 Kesimpulan

Berdasarkan Simulasi dan analisis yang telah dilakukan pada tugas akhir ini, dapat diambil beberapa kesimpulan sebagai berikut:

1. Dalam menganalisis stabilitas tegangan pada bus tertentu dapat menggunakan kurva PV, sehingga dapat ditentukan bus yang memiliki sensitivitas tegangan paling tinggi.
2. Dalam menentukan lokasi untuk pemasangan SVC dapat dilakukan dengan menggunakan metode sensitivitas tegangan.
3. Penambahan SVC pada bus *backbone* Kalimantan 275 kv dapat memperbaiki tegangan pada bus tersebut. Dari tegangan dibawah standar yaitu 0,5604 pu diperbaiki menjadi nilai sesuai standar yaitu 0,9507 pu.

5.2 Saran

Adapun saran untuk memperbaiki dan mengembangkan penelitian terkait tugas akhir ini yaitu :

1. Metode optimasi menggunakan kecerdasan buatan dalam menentukan lokasi penempatan dan kapasitas SVC.
2. Menggunakan peralatan FACTS lain sehingga dapat dibandingkan mana yang lebih efektif antara satu FACTS dan FACTS lain.
3. Dalam penentuan kapasitas SVC memerhatikan rating SVC di pasaran

Halaman ini sengaja dikosongkan

DAFTAR PUSTAKA

- [1] Radhito Dewanata Putra, “Pemasangan SVC Untuk Perbaikan Stabilitas Tegangan Sistem Transmisi Jamali 500 Kv Setelah Penambahan Pembangkit 1575 Mw Pada Tahun 2017,” p. 93, 2017.
- [2] Fitri Nur Eka Fauzi Mur Prasetyo, “Penempatan Optimal FACTS Devices pada Sistem Transmisi Jawa-Madura-Bali 500 kV Tahun 2017 untuk Meningkatkan Power Transfer Capability,” p. 125, 2017.
- [3] J. J. Grainger and W. Stevenson, *Power System Analysis*. 1994.
- [4] G. Andersson, “Power System Analysis: Power Flow Analysis, Fault Analysis, Power System Dynamics and Stability,” no. September, p. 185, 2012.
- [5] L. Powell, *Power system load flow analysis*. 2005.
- [6] T. Gonen, *Electric Power Transmission System Engineering*. 2011.
- [7] M. Venkatasubramanian and K. Tomovic, “Power System Analysis,” *The Electrical Engineering Handbook*. pp. 761–778, 2005.
- [8] P. S. Kundur, “Power System Stability and Control,” *Library of Congress Cataloging-in-Publication Data*. p. 1179, 1994.
- [9] T. Cutsem and C. Vournas, “Voltage Stability of Electric Power Systems,” 1998.
- [10] J. Hossain, H. R. Pota, I. Conventional, R. Power, and G. Resources, *Robust Control for Grid Voltage Stability : High Penetration of Renewable Energy*. .
- [11] “(Electric Power Research Institute Power System Engineering) Carson W. Taylor-Power System Voltage Stability-Mcgraw-Hill (Tx) (1993).pdf.” .
- [12] A. M. N. Putra and A. Y. Dewi, “STUDI ANALISA KESTABILAN TEGANGAN SISTEM 150 kV BERDASARKAN

PERUBAHAN TEGANGAN,” vol. 2, no. 1, pp. 18–25, 2013.

- [13] H. P. Prayitno, O. Penangsang, N. K. Aryani, J. T. Elektro, and F. T. Industri, “Studi Perbaikan Stabilitas Tegangan Sistem Jawa - Madura - Bali (Jamali) dengan Pemasangan SVC Setelah Masuknya Pembangkit 1000 MW Paiton,” vol. 5, no. 2, pp. 244–250, 2016.
- [14] T. A. Sembogo, “Studi Perbaikan Stabilitas Tegangan Kurva P-V pada Sistem Jawa-Bali 500kV dengan Pemasangan Kapasitor Bank Menggunakan Teori Sensitivitas,” no. 2, pp. 1–7.
- [15] M. Eremia, C. Liu, and A. Edris, “Advanced Solutions in Power Systems,” pp. 1–7, 2016.
- [16] E. Acha, C. R. Fuerte-Esquivel, H. Ambriz-Pérez, and C. Angeles-Camacho, *Facts*. 2004.
- [17] A. Hastanto, Yuningtyastuti, and S. Handoko, “Optimasi Penempatan Svc Untuk Memperbaiki Profil Tegangan Pada Sistem 500 Kv Jamali Menggunakan Metode Particle Swarm Optimization (PSO),” *Tek. Elektro Univ. Diponegoro*, 2012.

LAMPIRAN

Lampiran 1: Data Beban Kalimantan tahun 2026

Lampiran 2: Data Pembangkitan Kalimantan tahun 2026

Lampiran 3: Impedansi Pembangkit Kalimantan

Lampiran 4: Data *line transmission* Kalimantan Barat

Lampiran 5: Data *line transmission* Kalimantan Timur dan Utara

Lampiran 6: Data *line transmission* Kalimantan Selatan dan Tengah

Lampiran 7: Data Impedansi Saluran Kalimantan

Lampiran 8: Tower 275 kV

Lampiran 9: SLD Kalimantan 150 kV

Lampiran 10: *Technical Parameters Of conductor*

Halaman ini sengaja dikosongkan

Lampiran 1

Data Beban Kalimantan tahun 2026

No.	NAMA GI	Teg. (kV)	Beban Puncak Tahun 2026 (MW)
1	GI BERAU	150/20	52,00
2	GI BULUNGAN/ TANJUNG SELOR	150/20	26,84
3	GI SEKATAK	150/20	4,30
4	GI MALINAU	150/20	20,13
5	GI KRAYAN	150/20	1,05
6	GI KAYAN HULU	150/20	1,05
7	GI TANA TIDUNG	150/20	3,88
8	GI TALISAYAN	150/20	2,92
9	GI PLTU LATI	150/20	7,05
10	GI SEBUKU	150/20	1,22
11	GI Nunukan	150/20	28,99
12	GI CEMPAKA	150/20	122,12
13	GI CEMPAKA	70/20	4,47
14	GI RIAM KANAN/ARANIO	70/20	4,25
15	GI BANJARMASIN	70/20	0,00
16	GI TRISAKTI	70/20	12,80
17	GI TRISAKTI	150/20	119,36
18	GI MANTUIL	150/20	59,85
19	GI SEBERANG BARITO	150/20	18,03
20	GI SELAT	150/20	41,61
21	GI PALANGKARAYA	150/20	55,07
22	GI BARIKIN	150/20	45,54
23	GI TANJUNG	150/20	48,65

Data Beban Kalimantan tahun 2026 (lanjutan 1)

No.	NAMA GI	TEG. kV	Beban Puncak(MW) 2026
24	GI AMUNTAI	150/20	37,64
25	GI ASAM-ASAM	150/20	21,39
26	GI PELAIHARI	150/20	40,78
27	GI RANTAU/BINUANG	150/20	51,28
28	GI PULANG PISAU + MINTIN	150/20	16,13
29	GI BATULICIN	150/20	55,57
30	GI KAYU TANGI	150/20	23,62
31	GI SAMPIT	150/20	57,79
32	GI KASONGAN	150/20	30,16
33	GI PANGKALAN BUN	150/20	55,72
34	GI BUNTOK/AMPAH	150/20	19,34
35	GI MUARA TEWEH	150/20	17,16
36	GI PALANGKARAYA (New)	150/20	48,72
37	GI KUALA KURUN	150/20	6,27
38	GI BANDARA	150/20	41,02
39	GI PURUKCAHU	150/20	8,53
40	GI KOTABARU	150/20	24,34
41	GI SATUI	150/20	25,36
42	GI PARENGGEAN	150/20	9,34
43	GI PANGKALAN BANTENG	150/20	9,70
44	GI SUKAMARA	150/20	5,40
45	GI NANGABULIK	150/20	7,62
46	GI SEI TABUK	150/20	24,79
47	GI MARABAHAN	150/20	11,71
48	GI PARINGIN	150/20	23,27

Data Beban Kalimantan tahun 2026 (lanjutan 2)

No.	NAMA GI	TEG. kV	Beban Puncak(MW) 2026
49	GIS ULIN	150/20	99,87
50	GI BATI-BATI	150/20	31,12
51	GI TAMUYANG LAYANG	150/20	6,71
52	GI KUALA PAMBUANG	150/20	6,26
53	GI KANDANGAN	150/20	19,38
54	GI SIANTAN	150/20	85,57
55	GI SEI RAYA	150/20	163,09
56	GI. PARIT BARU	150/20	48,02
57	GI. MEMPAWAH	150/20	33,53
58	GI. KOTA BARU	150/20	63,28
59	GI SINGKAWANG	150/20	75,06
60	GI SAMBAS	150/20	41,37
61	GI CEMARA 2018	150/20	57,80
62	GI SANGGAU 2017	150/20	44,18
63	GI SINTANG 2018	150/20	36,25
64	GI TAYAN 2016	150/20	24,81
65	GI BENGKAYANG 2016	150/20	15,52
66	GI SEKADAU 2017	150/20	17,34
67	GI NGABANG 2016	150/20	14,00
68	GI NANGA PINOH 2020	150/20	16,62
69	GI KETAPANG 2020	150/20	27,73
70	GI SANDAI 2020	150/20	7,15
71	GI PUTUSSIBAU 2020	150/20	15,60
72	GI SUKADANA 2020	150/20	17,88
73	GI Kota Baru 2 2022	150/20	8,86

Data Beban Kalimantan tahun 2026 (lanjutan 3)

No.	NAMA GI	TEG. kV	Beban Puncak(MW) 2026
74	GI Semparuk 2019	150/20	16,21
75	GI Entikong 2020	150/20	9,82
76	GI Kendawangan 2020	150/20	7,04
77	GI INDUSTRI / Gn Malang	7,50	76,70
78	GI MANGGARSARI / Batakan	7,50	83,80
79	GI GIRI REJO / Karang Joang	7,50	58,10
80	GI NEW BALIKPAPAN	7,50	57,70
81	GIS BALIKPAPAN	7,50	35,60
82	GI KARIANGAU	7,50	18,80
83	GI SAMBOJA	7,50	10,50
84	GI SENIPAH	7,50	17,00
85	GI HARAPAN BARU	7,50	47,60
86	PLTD KLEDANG	20,00	10,50
87	GI TENGKAWANG	7,50	111,50
88	GI EMBALUT	7,50	38,30
89	GI BUKUAN	7,50	30,00
90	GI NEW SAMARINDA	7,50	48,30
91	GIS SAMARINDA	7,50	34,90
92	GI TENGGARONG	7,50	54,50
93	GI SAMBUTAN	7,50	45,70
94	GI SAMBERA	7,50	22,70
95	GI BONTANG	7,50	41,30
96	PLTD Kanaan	20,00	9,90
97	GI BONTANG KUALA	7,50	17,10
98	GI SANGATA	7,50	35,40

Data Beban Kalimantan tahun 2026 (lanjutan 4)

No.	NAMA GI	TEG. kV	Beban Puncak(MW) 2026
99	GI KUARO	7,50	9,50
100	GI PETUNG	7,50	33,60
101	GI LONGIKIS	7,50	6,90
102	GI BT SOPANG	7,50	5,60
103	GI PASER	7,50	41,20
104	GI KOTA BANGUN	7,50	8,50
105	GI MELAK	7,50	22,70
106	GI MALOY (SANGKUIRANG-KUTIM)	7,50	5,20
107	GI SEPASO	7,50	4,01
108	GI MUARA WAHAU	7,50	5,70
109	GI SEMOI-SEPAKU	7,50	3,10
110	GI KEMBANG JANGGUT	7,50	2,40
111	GI MUARA BENGKAL	7,50	2,80
112	GI SANGA-SANGA (PLTU MT-IPP)	7,50	5,00
113	GI MAHAKAM ULU	7,50	4,30
114	GI TANJUNG BATU (DERAWAN)	7,50	1,20
115	GI LONG PAHANGAI	7,50	0,90
116	GI LONG APARI	7,50	0,80

Lampiran 2

Data Pembangkitan Kalimantan tahun

No.	Provinsi	ID	Jenis	Unit	Kapasitas [MW]
1	Kalimantan Barat	Parit Baru (FTP1)	PLTU	#1,2	2x50
2		MPP Kalbar (PLTG)	PLTG	#1,2, 3,4	4x25
3		Kalbar Peaker	PLTG	#1,2, 3,4	4x25
4		Parit Baru (FTP2)	PLTU	#1,2	2x55
5		Pantai Kura-Kura	PLTU	#1,2	2x27.5
6		Kalbar 1	PLTU	#1,2	2x100
7	Kalimantan Selatan dan Tengah	Asam-Asam	PLTU	#1,2	2x65
8		Asam-Asam	PLTU	#3,4	2x65
9		Pulang Pisau	PLTU	#1,2	2x65
10		MPP Kalsel	MPP	#1,2	2x30
11		Bangkanai 1	PLTMG	#1-16	16x10
12		Riam Kanan	PLTA	#1	90
13		Sampit	PLTU	#1,2	2x25
14		Bangkanai 2	PLTMG	#1-15	15x9
15		MPP Kalsel	MPP	#3-6	4x30
16		Kalsel (FTP2)	PLTU	#1,2	2x100
17		Kalselteng 1	PLTU	#1,2	2x100
18		Kalselteng 2	PLTU	#1,2	2x100
19		Kalselteng 3	PLTU	#1,2	2x100
20	Kalimantan Timur dan Utara	Teluk Balikpapan	PLTU	#1,2	2x110
21		Embalut Ekspansi	PLTU	#3	50
22		Embalut	PLTU	#1,2	2x25
23		Kaltim (MT)	PLTU	#1,2	2x27.5
24		MPP Kaltim	PLTMG	#1-4	4x10
25		Tanjung Batu	PLTGU	#1	60

Data Pembangkitan Kalimantan tahun 2026 (lanjutan 1)

No.	Provinsi	ID	Jenis	Unit	Kapasitas [MW]
26	Kalimantan Timur dan Utara	Senipah	PLTG	#1,2	2x40
27		Kaltim Peaking	PLTG	#1,2	2x80
28		Sambera	PLTG	#1,2	2x20
29		Cogindo	PLTD	#1-4	4x10
30		Kaltim Peaker 2	PLTG	#1-5	5x50
31		Kaltim 4	PLTU	#1,2	2x100
32		Kaltim (FTP2)	PLTU	#1,2	2x100
33		Kaltim 3	PLTU	#1,2	2x100
34		PLTU Kaltim 6	PLTU	#1,2	2x100
35		Senipah (Steam)	PLTGU	#1	36

Lampiran 3

Impedansi Pembangkit Kalimantan

Jenis	Kapasitas [MW]	Apparent Power [MVA]	xd	xq	xd'	xq'
PLTU	50	62,5	1,05	0,98	0,185	0,36
PLTG	25	31,25	1,27	1,24	0,209	0,85
PLTU	65	85,312	1,18	1,05	0,223	0,38
MPP	2x30	63,5	2,25	1,805	0,223	0,3
PLTA	100	125	1,22	1,16	0,174	0,25
PLTU	25	31,25	1,4	1,372	0,231	0,715
PLTMG	10	12,163	1,07	0,66	0,408	
PLTMG	40	65,882	1,05	0,98	0,185	0,36
PLTU	25	31,25	1,4	1,372	0,231	0,715
PLTU	200	250	1,22	1,16	0,174	0,25
PLTG	60	80	1,05	0,98	0,185	0,36
PLTG	20	30	1,25	1,22	0,232	0,715
PLTU	25 (6.3 kV)	60	1,25	1,22	0,232	0,715

Impedansi Pembangkit Kalimantan (lanjutan 1)

Jenis	Kapasitas [MW]	xd"	xq"	x0	r0	x2
PLTU	50	0,13	0,185	0,077	0,0031	0,085
PLTG	25	0,105	0,116	0,116	0,0031	0,105
PLTU	65	0,145	0,145	0,084	0	0,095
MPP	2x30	0,144	0,2	0,084	0	0,158
PLTA	100	0,134	0,145	0,093	0,004	0,134
PLTU	25	0,118	0,12	0,077	0,0031	0,118
PLTMG	10	0,33	0,264	0,2	0	0,49
PLTMG	40	0,13	0,13	0,07	0	0,085
PLTU	25	0,118	0,12	0,077	0,0031	0,118
PLTU	200	0,134	0,134	0,1	0,004	0,134
PLTG	60	0,13	0,185	0,07	0	0,085
PLTG	20	0,12	0,12	0,0215	0	0,12
PLTU	25 (6.3 kV)	0,12	0,12	0,0215	0	0,12

Impedansi Pembangkit Kalimantan (lanjutan 2)

Jenis	Kapasitas [MW]	r2	Td'	Tq'	Td''	Tq''
PLTU	50	0,016	1,28	0,64	0,023	0,023
PLTG	25	0,016	0,882	0,64	0,023	0,023
PLTU	65	0,02	1,28	0,64	0,023	0,023
MPP	2x30	0	0,989	1	0,032	0,05
PLTA	100	0,017	0,023	0,64	0,023	0,023
PLTU	25	0,0082	0,882	0,64	0,035	0,035
PLTMG	10	0,03	1,67		0,035	0,035
PLTMG	40	0,016	1,28	0,64	0,023	0,023
PLTU	25	0,0082	0,882	0,64	0,035	0,035
PLTU	200	0,017	1,28	0,64	0,023	0,023
PLTG	60	0,016	1,28	0,64	0,023	0,023
PLTG	20	0,0082	0,882	0,64	0,035	0,035
PLTU	25 (6.3 kV)	0,0082	0,882	0,64	0,035	0,035

Lampiran 4

Data *line transmission* Kalimantan Barat

No	Transmisi		Lingkup		Kms
	Dari	Ke	Penampang	Line	
1	Sambas	Singkawang	ACSR 1x240mm	double	275,2
2	Singkawang	Bengkayang	ACSR 1x240mm	double	294,26
3	Bengkayang	Ngabang	ACSR 2x240mm	double	180
4	Ngabang	Tayan	ACSR 2x240mm	double	110
5	Tayan	Siantan	ACSR 1x240mm	double	184
6	Siantan	Sei Raya	ACSR 1x240mm	double	72,12
7	Siantan	Kota Baru	ACSR 1x240mm	single	39,69
8	Siantan	Parit Baru	ACSR 1x240mm	single	20,04
9	Kota Baru	Parit Baru	ACSR 1x240mm	single	20,04
10	Parit Baru	Senggiring	ACSR 1x240mm	double	168,7
11	Senggiring	Singkawang	ACSR 1x240mm	double	353,2
12	Kota Baru	Cemara	UGC, XLPE 800mm		20
13	Cemara	Sei Raya	UGC, XLPE 800mm		20
14	Ketapang	Sukadana	Double Hawk		200
15	Kendawangan	Ketapang	Double Hawk		190
16	Tayan	Sanggau	Double Hawk		180
17	Sanggau	Sekadau	Double Hawk		100

Data *line transmission* Kalimantan Barat (lanjutan 1)

No	Transmisi		Lingkup		Kms
	Dari	Ke	Penampang	Line	
18	Pantai Kura-kura	Singkawang-Mempawah	Single Hawk		40
19	Singkawang	Bengkayang	HTLS, Single Hawk		120
20	Singkawang	Pantai Kura Kura	HTLS, Single Hawk		60
21	Pantai Kura-kura	Mempawah	HTLS, Single Hawk		60
22	Mempawah	Parit Baru	HTLS, Single Hawk		60
23	Sintang	Sekadau	Double Hawk		180
24	Sukadana	Sandai	Double Hawk		180
25	Sandai	Tayan	Double Hawk		300
26	Kotabaru	Rasau	Double Hawk		60
27	PLTU Kalbar-2	Kotabaru	Double Zebra		60
28	Entikong	Sanggau	Double hawk		260
29	Nanga Pinoh	Kota Baru 2	Double Hawk		180
30	PLTU Kalbar-3	Tayan	Double Zebra		60
31	Sintang	Putussibau	Double Hawk		300
32	Sukamara (Kalteng)	Kendawangan (Kalbar)	Double Hawk		190

Lampiran 5

Data *line transmission* Kalimantan Timur dan Utara

No	Transmisi		Lingkup		Kms
	Dari	Ke	Penampang	Line	
1	Bontang	Sangatta	Double Hawk	double	95,36
2	Bontang	Samberah	Double Hawk	double	110
3	Samberah	New Samarinda	Double Zebra	double	40
4	Samberah	SBT	Double Hawk	double	100
5	SBT	Bukuan	Double Hawk	double	14,4
6	Bukuan	Haru	Single Hawk	double	24
7	Haru	Tengkawang	Double Hawk	double	16,6
8	Tengkawang	Embalut	Double Hawk	double	31,6
9	Embalut	BB	Single Hawk	double	41
10	Embalut	CFK	Single Hawk	double	3
11	Haru	Karjo	Double Hawk	double	150,8
12	Karjo	Manggan	Double Hawk	double	42,4
13	Manggan	Senipah	Double Hawk	double	186
14	Manggan	New Balikpapan	Single Hawk	double	26,8
15	New Balikpapan	Industri	Single Hawk	double	10
16	Karjo	Teluk Balikpapan	Double Zebra	double	22

Data line transmission Kalimantan Timur dan Utara (lanjutan 1)

No	Transmisi		Lingkup		Kms
	Dari	Ke	Penampang	Line	
17	Teluk Balikpapan	Petung	Double Hawk	double	90,4
18	Petung	Kuaro	Single Hawk	double	164
19	PLTG Senipah	Palaran	Double Hawk		110
20	Tenggarong	Kota Bangun	Double Hawk		120
21	New Balikpapan	Incomer 2 phi (Manggarsari-Industri)	Single Hawk		2
22	New Balikpapan	Kariangau	Double Zebra		40
23	New Samarinda	Embalut	Double Zebra		32
24	Kuaro	Tanah Grogot	Double Hawk		32
25	Lati	Tanjung Redep	Double Hawk		60
26	Tanjung Redep	Tanjung Selor	Double Hawk		160
27	Tanjung Selor	Tidang Pale	Double Hawk		204
28	Tidang Pale	Malinau	Double Hawk		52
29	PLTMRG Bangkanai	Melak	Double Hawk		200
30	Melak	Kotabangun	Double Hawk		268
31	Sangatta	Maloi	Double Hawk		160

Data *line transmission* Kalimantan Timur dan Utara (lanjutan 2)

No	Transmisi		Lingkup		Kms
	Dari	Ke	Penampang	Line	
32	Muara Wahau	Sangatta	Double Hawk		100
33	Muara Wahau	Tanjung Redep	Double Hawk		240
34	PLTU Kaltim 2 (FTP-2)	Bontang	Double Hawk		30
35	Tenggarong/Bukit Biru	Sepaku	Double Hawk		70
36	Kariangau	Sepaku	Double Hawk		50
37	Tanjung Redep	Talisayan	Double Hawk		70
38	Lati	Tanjung Batu (derawan)	Double Hawk		40
39	Sekatak	Juata	Double Hawk		120
40	Juata	Tarakan	Double Hawk		28
41	Malinau	Sebuku	Double Hawk		150
42	Sebuku	Nunukan	Double Hawk		156
43	PLTU Kaltim 3	Melak	Double Hawk		60
44	Kembang Janggut	Kotabangun	Double Hawk		40
45	PLTU Kaltim 6	Kuaro	Double Hawk		60
46	New Balikpapan	GIS Balikpapan	XLPE. 800 mm		20
47	GIS Samarinda	New Samarinda	XLPE. 800 mm		30

Data *line transmission* Kalimantan Timur dan Utara (lanjutan 3)

No	Transmisi		Lingkup		Kms
	Dari	Ke	Penampang	Line	
48	Tanah Grogot	Sei Durian	Double Hawk		140
49	PLTA Tabang	Kembang Janggut	Double Zebra		140
50	Melak	Ujoh Bilang	Double Hawk		150
51	Kembang Janggut	Muara Bengkal	Double Hawk		200
52	Muara Bengkal	Muara Wahau	Double Hawk		240
53	PLTA Kaltara 1	Malinau	Double Zebra		80

Lampiran 6

Data *line transmission* Kalimantan Selatan dann Tengah

No	Transmisi		Lingkup		Kms
	Dari	Ke	Penampang	Line	
1	Sampit	Kasongan	ACSR 2x240mm	double	200
2	Kasongan	Palangkaraya	ACSR 2x240mm	double	150
3	Palangkaraya	Pembangkit Pulpis	ACSR 1x240mm	single	94
4	Palangkaraya	Pulpis	ACSR 1x240mm	single	85
5	Pulpis	Selat	ACSR 1x240mm	single	38,5
6	Pembangkit Pulpis	Selat	ACSR 1x240mm	single	31,5
7	Selat	Sebar	ACCC, 1x315mm	double	83,548
8	Sebar	Trisakti 150	ACSR 1x240mm	double	30
9	Trisakti 150	Mantuil	ACSR 2x240mm	double	30,308
10	Mantuil	Bandara	ACSR 2x240mm	double	32
11	Bandara	Cempaka	ACSR 2x240mm	double	24
12	Mantuil	Asam	ACSR 2x240mm	double	220
13	Asam	Satui	ACSR 1x240mm	double	154,7
14	Satui	Batu Licin	ACSR 1x240mm	double	100
15	Asam	Pelai Hari	ACSR 1x330mm	single	59,1
16	Pelai Hari	Cempaka	ACSR 1x330mm	single	32,7

Data *line transmission* Kalimantan Selatan dann Tengah (lanjutan 1)

No	Transmisi		Lingkup		Kms
	Dari	Ke	Penampang	Line	
17	Asam	Cempaka	ACSR 1x330mm	single	88,6
18	Cempaka	Rantau	ACSR 1x240mm	single	60,57
19	Rantau	Barikin	ACSR 1x240mm	single	45,68
20	Cempaka	Barikin	ACSR 1x240mm	single	106,25
21	Sebar	Kayutangi	ACSR 1x240mm	double	34
22	Kayutangi	Barikin	ACSR 2x240mm	double	240
23	Barikin	Amuntai	ACSR 1x240mm	double	80
24	Barikin	Tanjung	ACSR 2x240mm	double	120
25	Tanjung	Buntok	ACSR 2x240mm	double	260
26	Buntok	Muara Teweh	ACSR 2x240mm	double	220
27	Teweh	BKNI	ACSR 1x330mm	double	100
28	Bandara	Incomer 2 phi (Cempaka- Mantuil)	Double Hawk		2

Data *line transmission* Kalimantan Selatan dann Tengah (lanjutan 2)

No	Transmisi		Lingkup		Kms
	Dari	Ke	Penampang	Line	
29	Satui	Asam Asam - Batu Licin	Single Hawk		2
30	PLTU Sampit	Sampit	Single Hawk		48
31	Batu Licin	Landing Point Batu Licin	Single Hawk		6
32	Landing Point P. Laut	Kota Baru	Single Hawk		74
33	Landing Point Batu Licin	Landing Point P. Laut	Kabel Laut		6
34	Kayutangi	Sei Tabuk	Double Hawk		30
35	Sei Tabuk	Mantuil	Double Hawk		30
36	Trisakti 150	Ulin (GIS)	HTLS, 1xHawk		24
37	Cempaka	Ulin (GIS)	Double Hawk		64
38	Sampit	Pangkalan Bun	Double Hawk		344
39	Muara Teweh	Puruk Cahu	Double Hawk		94
40	Paringin	Incomer 1 phi (Barikin - Tanjung)	ACSR, 2xHawk		2

Data *line transmission* Kalimantan Selatan dann Tengah (lanjutan 3)

No	Transmisi		Lingkup		Kms
	Dari	Ke	Penampang	Line	
40	Paringin	Incomer 1 phi (Barikin - Tanjung)	ACSR, 2xHawk		2
41	New Palangkaraya	Incomer 1 phi (Selat - Palangkaraya)	Single Hawk		2
42	Parenggean	Incomer 1 phi (Kasongan - Sampit)	Single Hawk		30
43	Puruk Cahu	Kuala Kurun	Double Hawk		196
44	Kasongan	Kuala Kurun	Double Hawk		240
45	Palangkaraya	Selat	HTLS, 1xHawk		248
46	Selat	Seberang Barito	HTLS, 1xHawk		84
47	PLTU Sampit	Kuala Pambuang	Double Hawk		160
48	Seberang Barito	Trisakti	HTLS, Single Hawk		12

Data *line transmission* Kalimantan Selatan dan Tengah (lanjutan 4)

No	Transmisi		Lingkup		Kms
	Dari	Ke	Penampang	Line	
49	PLTU Kalsel 1(FTP 2)	Tanjung	Double Hawk		100
50	PLTGU Kalsel Peaker	Seberang Barito	Double Zebra		6
51	Bati-Bati	Incomer 1 phi (Asam Asam- Cempaka)	Double Hawk		12
52	PLTU Kalselteng 1	Incomer 2 phi (Kasongan- Kuala Kurun)	Double Hawk		120
53	Pangkalan Bun	Sukamara	Double Hawk		140
54	Pangkalan Banteng	Incomer 1 phi (Pangkalan Bun-Sampit)	Single Hawk		48
55	Nanga Bulik	Incomer 1 Phi (Pangkalan Bun- Sukamara)	Double Hawk		70
56	Kandangan	Incomer 1 phi (Rantau- Barikin)	Double Hawk		2
57	Amuntai	Tamiang Layang	Double Hawk		30
58	Sukamara	Kendawangan	Double Hawk		140
59	PLTA Kusan	Incomer 1 phi (Cempaka- Rantau)	Single Hawk		138

Lampiran 7

Data Impedansi Saluran Kalimantan

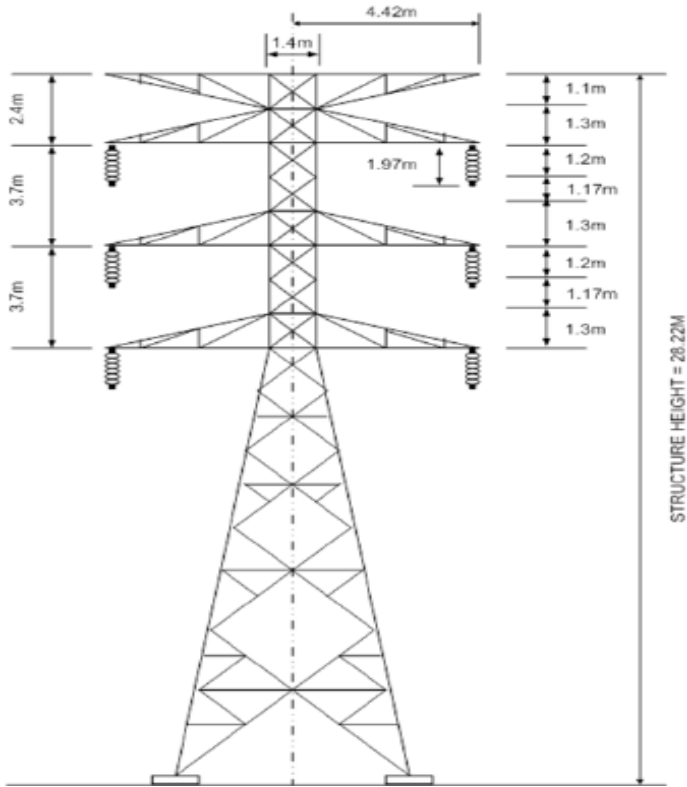
No.	Penampang	R' positif (Ohm/km)	R' negatif (Ohm/km)	R'0 (Ohm/km)	X' (Ohm/km)
1	ACSR 1x240mm	0,1183	0,1183	0,321	0,40694
2	ACSR 2x240mm	0,06	0,06	0,261095	0,29614
3	Single Hawk	0,129	0,129	0,554	0,4049
4	Double Hawk	0,0647	0,0647	0,554	0,28
5	Double Zebra	0,0199	0,0199	0,554	0,2874
6	ACCC, 1x315mm	0,0887	0,0887	0,321	0,407
7	ACSR 1x330mm	0,095	0,095	0,289	0,388001
8	Kabel Laut				
9	HTLS, 1xHawk				
10	UGC, XLPE 800mm				

Data Impedansi Saluran Kalimantan (lanjutan 1)

No.	Penampang	X'0 (Ohm/km)	B' (uS/km)	B'0 (uS/km)
1	ACSR 1x240mm	1,307	2,82366	1,43413
2	ACSR 2x240mm	1,231237	3,865704	1,661734
3	Single Hawk	1,64	2,833	1,4609
4	Double Hawk	1,64	4,057	1,4609
5	Double Zebra	1,64	4,2	1,4609
6	ACCC, 1x315mm	1,307	3,153699	1,43413
7	ACSR 1x330mm	1,307	2,895697	1,452463
8	Kabel Laut			
9	HTLS, 1xHawk			
10	UGC, XLPE 800mm			

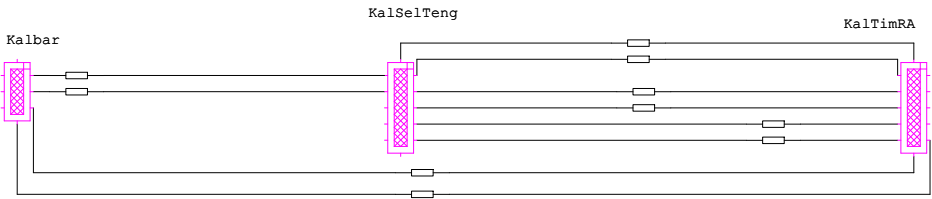
Lampiran 8

Tower 275 kV

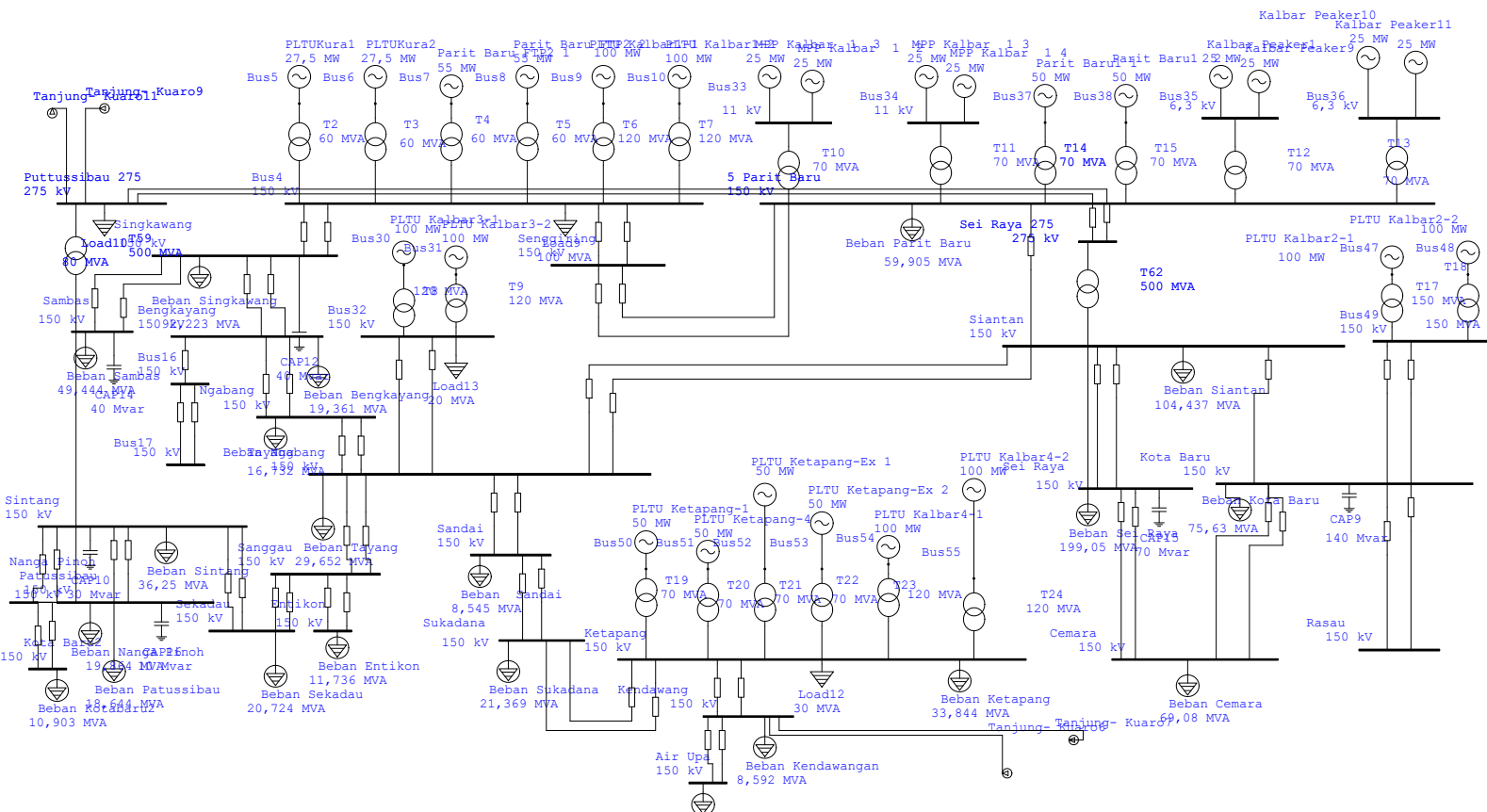


TEGANGAN N	TINGGI	JARAK FASA	CG	CONDUCTOR S
150	28,22	AB=BC = 3,7 CA=7,4	GG= 3,7 CG=2,4	SP=40 CO/PH=2

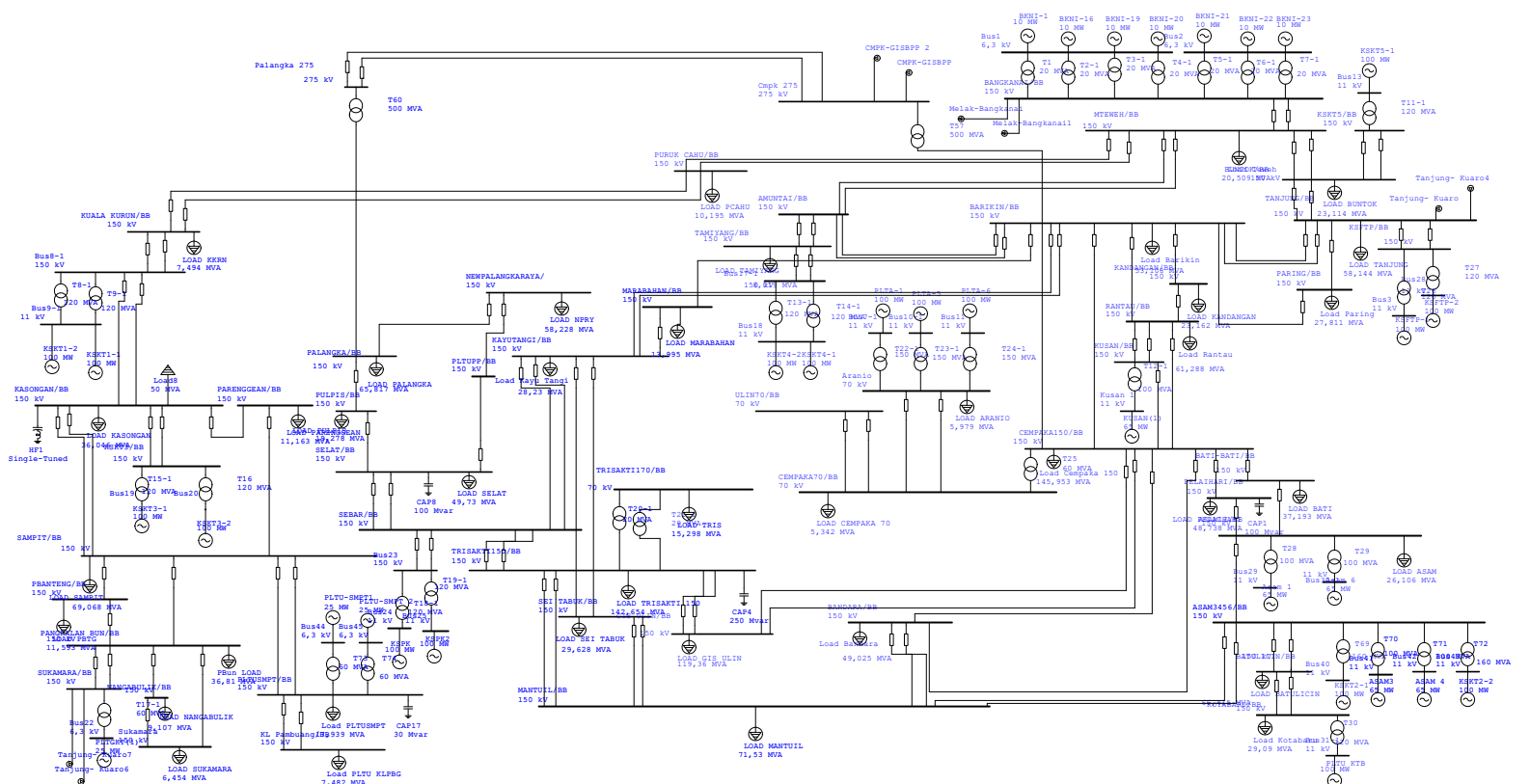
One-Line Diagram - OLV1 (Edit Mode)



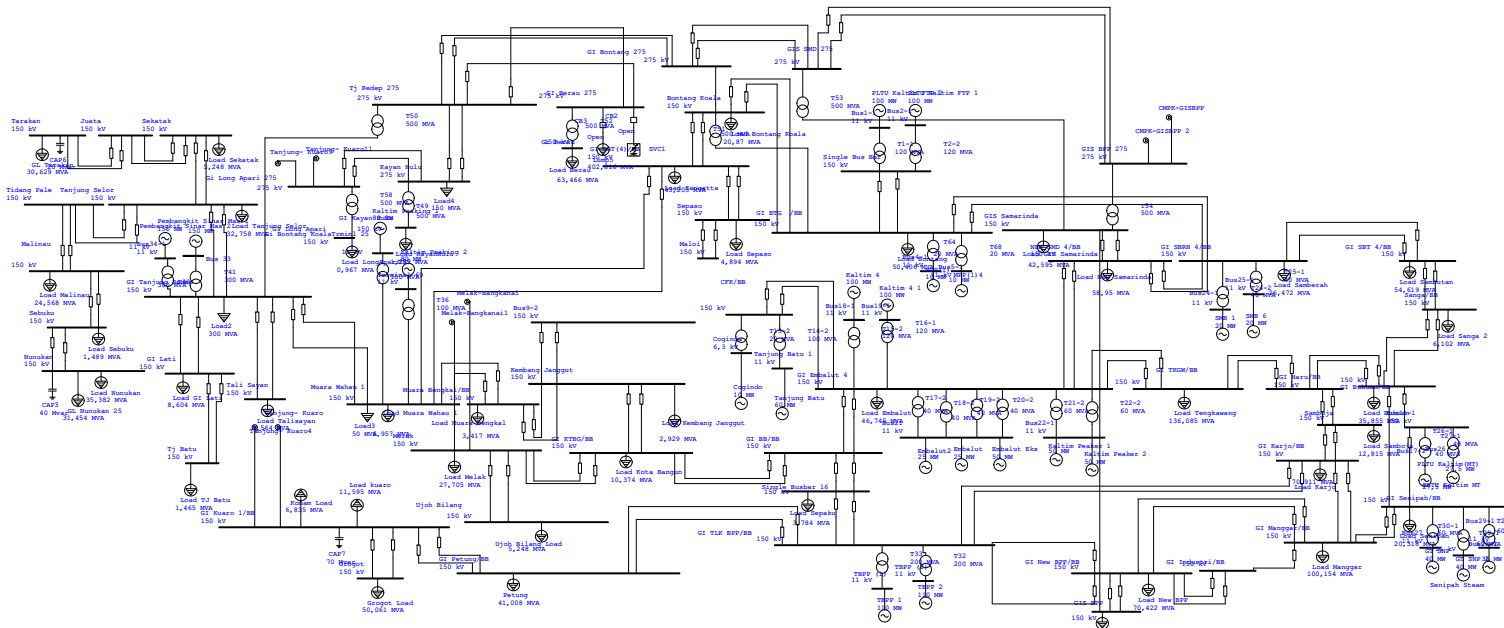
One-Line Diagram - OLV1=>Kalbar (Edit Mode)



One-Line Diagram - OLV1=>KalSelTeng (Edit Mode)



One-Line Diagram - OLV1=>KalTimRA (Edit Mode)



TECHNICAL PARAMETERS OF CONDUCTOR

VOLTAGE (kV)	CONDUCTORS PER PHASE	CODE NAME	Z ₁ (Ohm/km)		B ₁ (uS/km)	AMPS.	THERMAL CAPACITY (MVA)	L (Henry) per km 10 ⁻⁴	C(pF)/km	Surge Impedance Z _o (Ohm)	S I L (MW)	Charging MVA per km
			R	jX								
150 (pu/km)	1 x 160 mm ²	-	0.20600 <u>0.00092</u>	0.4200 <u>0.00187</u>	2.73000 <u>0.00061</u>	389	101	6.688	4347	392	57	0.0614
150 (pu/km)	1 x 200 mm ²	-	0.15600 <u>0.00069</u>	0.4110 <u>0.00183</u>	2.79200 <u>0.00063</u>	477	124	6.544	4346	388	58	0.0628
150 (pu/km)	1 x 241.7 mm ²	HEN	0.13100 <u>0.00058</u>	0.4017 <u>0.00179</u>	2.84600 <u>0.00064</u>	535	139	6.396	4532	376	60	0.0640
150 (pu/km)	1 x 241.7 mm ²	HAWK	0.12900 <u>0.00057</u>	0.4049 <u>0.00180</u>	2.83300 <u>0.00064</u>	535	139	6.447	4511	378	60	0.0637
150 (pu/km)	2 x 241.7 mm ²	HAWK	0.06470 <u>0.00029</u>	0.2800 <u>0.00124</u>	4.05700 <u>0.00091</u>	1058	275	4.458	6460	263	85	0.0913
150 (pu/km)	1 x 282 mm ²	DOVE	0.11120 <u>0.00049</u>	0.3997 <u>0.00178</u>	2.87000 <u>0.00065</u>	593	154	6.365	4570	373	60	0.0645
150 (pu/km)	2 x 282 mm ²	DOVE	0.05560 <u>0.00025</u>	0.2775 <u>0.00123</u>	4.09300 <u>0.00092</u>	1185	308	4.419	6518	260	87	0.0921
150 (pu/km)	1 x 306.6 mm ²	DUCK	0.10310 <u>0.00046</u>	0.3990 <u>0.00177</u>	2.88300 <u>0.00065</u>	620	161	6.354	4589	372	60	0.0648
150 (pu/km)	1 x 330 mm ²	-	0.09750 <u>0.00043</u>	0.3960 <u>0.00176</u>	2.90000 <u>0.00065</u>	650	169	6.306	4618	369	61	0.0652
150 (pu/km)	2 x 330 mm ²	-	0.04880 <u>0.00022</u>	0.2775 <u>0.00123</u>	4.12300 <u>0.00093</u>	1301	338	4.387	6568	258	87	0.0928
150 (pu/km)	1 x 402 mm ²	DRAKE	0.07810 <u>0.00035</u>	0.3888 <u>0.00173</u>	2.95600 <u>0.00067</u>	724	188	6.191	4707	363	62	0.0665
150 (pu/km)	2 x 402 mm ²	DRAKE	0.03900 <u>0.00017</u>	0.2720 <u>0.00121</u>	4.18100 <u>0.00094</u>	1447	376	4.331	6658	255	88	0.0940
150 (pu/km)	1 x 428.9 mm ²	ZEBRA	0.07940 <u>0.00035</u>	0.3890 <u>0.00173</u>	2.95000 <u>0.00066</u>	754	196	6.194	4697	363	62	0.0664
150 (pu/km)	2 x 428.9 mm ²	ZEBRA	0.03970 <u>0.00018</u>	0.2720 <u>0.00121</u>	4.17300 <u>0.00094</u>	1509	392	4.331	6645	255	88	0.0939
150 (pu/km)	4 x 428.9 mm ²	ZEBRA	0.01985 <u>0.00009</u>	0.2674 <u>0.00119</u>	4.20000 <u>0.00095</u>	3018	784	4.258	6688	252	89	0.0945
275 (pu/km)	2 x 428.9 mm ²	ZEBRA	0.03830 <u>0.00005</u>	0.3100 <u>0.00041</u>	3.55623 <u>0.00272</u>	1300	720	-	-	-	-	-
500 (pu/km)	4 x 282 mm ²	DOVE	0.02770 <u>0.00001</u>	0.2750 <u>0.00011</u>	4.04500 <u>0.01011</u>	2292	1985	4.379	6441	261	958	1.0115
500 (pu/km)	4 x 337.8 mm ²	GANNET	0.02400 <u>0.00001</u>	0.2740 <u>0.00011</u>	4.04300 <u>0.01011</u>	2551	2209	4.363	6438	260	961	1.0109
500 (pu/km)	4 x 570/40 mm ²	-	0.01392 <u>0.00001</u>	0.2903 <u>0.00012</u>	3.96029 <u>0.00990</u>	4200	3637	-	-	-	-	-
500 (pu/km)	1 x 630/80 mm ²	-	0.01500 <u>0.00001</u>	0.2900 <u>0.00012</u>	3.74666 <u>0.00937</u>	4200	3637	-	-	-	-	-

* Based on conductor temp of 75° C, ambient temp of 35° C, wind vel: 1.6 km/hr, solar radiation: 0.12 W/cm².

** Assume :

- Lossless line
- No net reactive flow into/out the line
- Flat voltage profile along the line

$$TACSR = 1.6 \text{ kA}$$

UNDERGROUND CABLES					
VOLTAGE (kV)	CROSS SECTION	Z ₁ (Ohm/km)	B ₁ (uS/km)	THERMAL CAPACITY	
		R	jX		
150	3 single core Al 630 mm ²	0.0589	0.1147	141.4	172 MVA/circuit ¹ 150 MVA/circuit ²
150	3 single core Al 500 mm ²	0.0775	0.0949	143.1	150 MVA/circuit ¹ 131 MVA/circuit ²

¹: One circuit in operation

²: Two circuits in operation

Notes :

MVA base	100
R base (150 kV)	225
X base (150 kV)	225
B1 base (150 kV)	225
R base (500 kV)	2500
X base (500 kV)	2500
B1 base (500 kV)	2500

$$R (\mu) = R / R \text{ base}$$

$$X (\mu) = X / X \text{ base}$$

$$B1 (\mu) = B1 \times B1 \text{ base}$$

Ratings and parameters for 630 mm² cable are manufacturers data.
Ratings and parameters for 500 mm² cable are based on BICC information.

L 2 NILAI RESISTANSI, REAKTANSI DAN SUSEPTANSI (TIPIKAL) BEBERAPA JENIS PENGHANTAR (ref. Stevenson,Jr., p.40)

No	Konduktor	Diameter luar ACSR (mm)	X_L (ohm/km) per phasa per circuit		B_C (micromho/km) per phasa per circuit		$R_{dc20^\circ C}$ (ohm/km) per phasa	$R_{ac20^\circ C}$ (ohm/km) per phasa	$R_{ac75^\circ C}$ (ohm/km) per phasa
			1 cct	2 cct	1 cct	2 cct			
1	Hawk -single -twin	21.78	0.4063	0.3939	2.7941	2.8853	0.1196	0.1225	0.1497
			0.2892	0.2762	3.8866	4.0745	0.0598	0.0613	0.0749
2	Dove -single -twin	23.2	0.4024	0.3899	2.8226	2.9157	0.1024	0.1051	0.1284
			0.2872	0.2742	3.9141	4.1047	0.0512	0.0525	0.0642
3	Duck -single -twin	25.25	0.3957	0.3833	2.8617	2.9575	0.0944	0.0971	0.1187
			0.2839	0.2709	3.9516	4.1459	0.0472	0.0486	0.0593
4	Drake -single -twin	28.13	0.3903	0.3778	2.9132	3.0125	0.0717	0.0740	0.0904
			0.2812	0.2681	4.0004	4.1997	0.0358	0.0370	0.0452
5	Zebra -single -twin -quadruple	28.62	0.3891	0.3767	2.9217	3.0215	0.0674	0.0703	0.0859
			0.2806	0.2676	4.0084	4.2084	0.0337	0.0352	0.0430
			0.2221	0.2067	5.0185	5.3980	0.0169	0.0176	0.0215
6	Ostrich -single -twin	17.27	0.3995	0.3849	2.8436	2.9553	0.1867	0.1913	0.2337
			0.2965	0.2835	3.7889	3.9672	0.0933	0.0956	0.1168
7	Partridge	16.31	0.4245	0.4121	2.6705	2.7537	0.2100	0.2151	0.2628
			0.2983	0.2853	3.7655	3.9415	0.1050	0.1076	0.1314

Const. Line Type	Phase conductor		Voltage kV	Line parameters per unit of lengt				Limit
	Cond Type	Sect mm ²		r1 ohm/km	x1 ohm/km	full b1	rating mcrS/km	
PAVEN 221a	ACSR 53.8.88	62	70	0.5341	0.3552	3.6644	231	
RAVEN		62	70	0.6635	0.4635	3.372	231	
PIGEON 211a	ACSR 85/14.2	85	70	0.337	0.3918	2.9204	312	
PIGEON 211b	ACSR 85/14.2	85	70	0.337	0.4025	2.5374	312	
PIGEON 211c	ACSR 85/14.2	85	70	0.337	0.3947	2.9006	312	
PIGEON 211d	ACSR 85/14.2	85	70	0.337	0.4103	2.7882	312	
PIGEON 211e	ACSR 85/14.2	85	70	0.337	0.3584	3.2024	312	
PIGEON 211f	ACSR 85/14.2	85	70	0.337	0.3584	3.2024	312	
PIGEON 221a	ACSR 85/14.2	85	70	0.337	0.3902	2.9307	312	
PIGEON 221b	ACSR 85/14.2	85	70	0.337	0.389	2.9409	312	
PIGEON 221c	ACSR 85/14.2	85	70	0.337	0.4094	2.788	312	
PIGEON		85	70	0.4215	0.4456	3.4737	312	
ACSR 120		120	70	0.2924	0.4572	2.7946	382	
ACSR 120/20							382	
211a	ACSR 120/20	120	70	0.2374	0.3972	0.3972		
ACSR 120/20							382	
211b	ACSR 120/21	120	70	0.2374	0.3933	0.3938		
ACSR 120/20							382	
221a	ACSR 120/22	120	70	0.2374	0.3773	3.0347		
ACSR 120/20							382	
221b	ACSR 120/23	120	70	0.2374	0.3808	3.006		
PARTRIDGE								
		135	150	0.2355	0.4284	2.7590	400	
PARTRIDGE	ACSR 135.2.22	135	150	0.2136	0.4084	2.7966	375	
OSTRICH 211a	ACSR 152/24.7	152	70	0.1896	0.3760	3.0466	440	
OSTRICH 221a	ACSR 152/24.7	152	70	0.1896	0.3895	2.9366	440	
OSTRICH 221b	ACSR 152/24.7	152	70	0.1896	0.3870	2.9558	440	
OSTRICH 221c	ACSR 152/24.7	152	70	0.1896	0.3738	3.0648	440	
OSTRICH 111a	ACSR 152/24.7	152	70	0.1896	0.3830	3.8732	440	
OSTRICH 111b	ACSR 152/24.7	152	70	0.1896	0.4047	2.3230	440	
OSTRICH 121a	ACSR 152/24.7	152	70	0.1896	0.4057	2.3142	440	
OSTRICH 211b	ACSR 152/24.7	152	70	0.1896	0.3822	2.9949	440	
OSTRICH 211c	ACSR 152/24.7	152	70	0.1896	0.3857	2.9660	440	
OSTRICH 211d	ACSR 152/24.7	152	70	0.1896	0.3760	3.0466	440	
OSTRICH		152	70	0.2346	0.4464	2.9283	440	
PIPER 211a	ACSR 152/35.5	152	70	0.19	0.3716	3.0845	440	
PIPER 211b	ACSR 152/35.5	152	70	0.19	0.3883	2.9457	440	
PIPER 211c	ACSR 152/35.5	152	70	0.19	0.3850	2.9726	440	
PIPER 211d	ACSR 152/35.5	152	70	0.19	0.3850	2.9726	440	
PIPER 221a	ACSR 152/35.5	152	70	0.19	0.0859	2.9051	440	
PIPER 221b	ACSR 152/35.5	152	70	0.19	0.3719	3.0806	440	
PIPER 221c	ACSR 152/35.5	152	70	0.19	0.3729	3.0729	440	
PIPER 221d	ACSR 152/35.5	152	70	0.19	0.3845	2.3757	440	
PIPER 221e	ACSR 152/35.5	152	70	0.19	0.3824	2.9936	440	
PIPER 111a	ACSR 152/35.5	152	70	0.19	0.3840	2.9852	440	
PIPER		152	70	0.2350	0.4159	3.1499	440	
ORIOLE								
		170	70	0.2097	0.4371	2.9746	470	
ORIOLE 221a	ACSR 170.5/39.8	170	70	0.1694	0.3807	3.0069	470	
ORIOLE 211a	ACSR 170.5/39.9	170	70	0.1694	0.3804	0.0010	470	
ORIOLE 221b	ACSR 170.5/39.10	170	70	0.1694	0.3810	3.0051	470	
HAWK								
		240	150	0.1478	0.4248	3.0540	580	
HEN								
		240	150	0.1482	0.4496	2.8865	580	
ACSR 240								
		240	150	0.1481	0.4419	2.8888	600	
TACSR 240 221	TACSR 240	240	150	0.12669	0.3877	2.95109	973	
DRAKE								
		402	150	0.0893	3.434	2.9801	780	
DRAKE 221a	ACSR 402.8/65.6	402	150	0.0823	0.3889	2.9407	780	
DRAKE 221a	ACSR 402.8/65.6	402	150	0.0944	0.3890	2.9400	780	
DRAKE 222a	ACSR 402.8/65.6	402	150	0.0411	0.2822	4.0015	1560	
DRAKE 222a	ACSR 402.8/65.6	402	150	0.0411	0.2820	4	1560	
DRAKE 221b	ACSR 402.8/65.6	402	150	0.0882	0.4023	2.8988	780	
DRAKE 221b	ACSR 402.8/65.6	402	150	0.1012	0.4020	2.8400	780	
DRAKE 222b	ACSR 402.8/65.6	402	150	0.0411	0.2812	4.0159	1560	
DRAKE 222b	ACSR 402.8/65.6	402	150	0.0472	0.2810	4.0200	1560	
DRAKE 221c	ACSR 402.8/65.6	402	150	0.0823	0.4063	2.8095	780	
DRAKE 221c	ACSR 402.8/65.6	402	150	0.0944	0.4060	2.8000	780	
DRAKE 221d	ACSR 402.8/65.6	402	150	0.0823	0.1666	0.2024	780	
ACSR 410								
		410	150	0.0812	1.4820	8.5282	790	
TACSR 410 221	TACSR 410	410		0.08478	1.4017	2.3400	1365	
TACSR 410 222	TACSR 410	410	150	0.04239	2.8087	4.0227	2730	
TACSR 410 222	TACSR 410	410	150	0.0486	0.2810	4.0200	2730	
TACSR 410 224	TACSR 410	410	150	0.0212	1.2773	4.0841	560	
ZEBRA 222a	ACSR 423.9/55.6	429	150	0.0387	1.2807	4.0227	1620	
ZEBRA 222a	ACSR 423.9/55.6	429	150	0.0444	0.2810	4.0200	1620	
ZEBRA 222a	ACSR 423.9/55.6	429	150	0.0778	1.4018	2.3461	810	
ZEBRA 222b	ACSR 423.9/55.6	429	150	0.0778	1.4017	2.8400	810	
ZEBRA								
		429	150	0.0843	1.4495	2.8689	810	
ACSR 520								
		620	150	0.0456	1.4600	0.7920	810	
CHL								
		625	150					
CHL								
		4X500	280					

Const. Line Type	Phase conductor		Voltage kV	Line parameters per unit of lengt				Limit
	Cond Type	Sect mm ²		r1 ohm/km	x1 ohm/km	full b1	rating mcrS/km	
TACSR 240 222	TACSR 240	240	150	0.06335	0.2581	4.3863	1946	
TACSR 240 224	TACSR 240	240	150	0.03167	0.2788	4.0132	3892	
HAWK 221a	ACSR 241.7/39.4	240			0.1370	0.4095	2.7882	580
HAWK 221b	ACSR 241.7/39.4	240	150	0.1370	0.4180	2.7253	580	
HAWK 221b	ACSR 241.7/39.5	240	150	0.1370	0.4180	2.7200	580	
HAWK 221c	ACSR 241.7/39.4	240	150	0.1370	0.3966	2.8824	580	
HEN 221a	ACSR 241.7/56.4	240	70	0.1373	0.3335	3.4545	580	
HEN 211a	ACSR 241.7/56.4	240	150	0.1373	0.4127	2.7627	580	
HEN 211a	ACSR 241.7/56.4	240	150	0.1575	0.4130	2.7600	580	
HEN 221b	ACSR 241.7/56.4	240	70	0.1373	0.3700	3.0981	580	
HEN 221c	ACSR 241.7/56.4	240	70	0.1373	0.3700	3.0981	580	
ACSR 160 121 a	ACSR 160	243	150	0.1820	0.4566	2.4094	450	
ACSR 240/40							600	
111a	ACSR 240/40	243	150	0.1183	0.4092	2.7912		600
ACSR 240/40							600	
221a	ACSR 240/40	243	150	0.1183	0.3877	2.9511		600
ACSR 240/40							600	
221b	ACSR 240/40	243	150	0.1183	0.3958	2.3883		600
ACSR 240/40							600	
221c	ACSR 240/40	243	150	0.1183	0.3859	2.9649		600
ACSR 240/40							600	
221d	ACSR 240/40	243	150	0.1183	0.38946	2.9377		1200
ACSR 240/40							1200	
222a	ACSR 240/40	243	150	0.1183	0.2581	4.3863		1200
ACSR 240/40							1200	
DOVE 221a	ACSR 282/45.9	282	150	0.1172	0.4003	2.8534	600	
DOVE 221a	ACSR 282/45.9	282	150	0.1345	0.4	2.86	600	
DOVE 124a	ACSR 282/45.9	282	500	0.0293	0.2788	4.0132		2500
DOVE 222a	ACSR 282/45.9	282	150	0.0586	0.2773	4.0736		1200
DOVE 222a	ACSR 282/45.9	282	150	0.0672	0.277	4.08		1200
DOVE								
		282	150	0.1279	0.4554	2.8408	600	
DUCK 221a	ACSR 306.9/39.8	307			0.09423	0.3888	2.9419	610
ACSR 330 221a	ACSR 330	330	150	0.0888	0			

BIODATA PENULIS



Giffari Yusuf Aditya, biasa dipanggil Giffari. Lahirkan di kota Bondowoso, 21 Januari 1996. Penulis memulai pendidikannya di TK Wahid Hasyim, kemudian melanjutkan ke SD Negeri Kembang 01. Kemudian melanjutkan ke SMP Negeri 05 Bondowoso. Setelah itu melanjutkan pendidikan ke SMA Negeri 02 Bondowoso. Setelah lulus dari SMA kemudian melanjutkan pendidikan ke perguruan tinggi negeri di Institut Teknologi Sepuluh Nopember. Departemen Teknik Elektro. Dan mengambil bidang studi system tenaga. Penulis juga mengeikuti beberapa organisasi seperti lembaga dakwah jurusan yaitu KALAM elektro ITS sebagai kepala divisi kaderisasi dan organisasi pondok pesantren mahasiswa Darul Arqam.

Halaman ini sengaja dikosongkan